

11244  
2ej  
8



UNIVERSIDAD NACIONAL  
AUTÓNOMA DE  
MÉXICO



LA PRESENCIA DE OSTEOARTROPATHIA HIPERTROFICA  
EN PACIENTES CON CARDIOPATIA CONGENITA  
CIANOGENA CON RELACION A  
LA MORFOLOGIA ANORMAL DE LAS PLAQUETAS.

Director de Tesis:  
Dr. Manuel Martínez-Lavín

Director del Curso:  
Dr. Manuel Martínez-Lavín

Jefe de Enseñanza:  
Dr. Ignacio Chávez Rivera

Tesis recepcional que para obtener  
el título de especialista en Reumatología  
presenta María Dolores Vázquez Abad.

México D.F., 1989

TESIS CON  
FALTA DE ORIGEN



**UNAM – Dirección General de Bibliotecas**

**Tesis Digitales**  
**Restricciones de uso**

**DERECHOS RESERVADOS ©**  
**PROHIBIDA SU REPRODUCCIÓN TOTAL O PARCIAL**

Todo el material contenido en esta tesis está protegido por la Ley Federal del Derecho de Autor (LFDA) de los Estados Unidos Mexicanos (México).

El uso de imágenes, fragmentos de videos, y demás material que sea objeto de protección de los derechos de autor, será exclusivamente para fines educativos e informativos y deberá citar la fuente donde la obtuvo mencionando el autor o autores. Cualquier uso distinto como el lucro, reproducción, edición o modificación, será perseguido y sancionado por el respectivo titular de los Derechos de Autor.

# Capítulo 1

## INTRODUCCION

### §1.1: Planteamiento del Problema

En 1982, un grupo de investigadores del Royal Hallamshire Hospital, de los Departamentos de Medicina, de Matemáticas Aplicadas y Computación, y de Patología en Sheffield, Inglaterra dieron a conocer una teoría matemática relacionada con la producción *in vivo* de las plaquetas.

Por un lado<sup>1</sup> demuestran que ante estímulos biológicos, la necesidad de aumentar el número de plaquetas de los individuos implica primero un aumento del tamaño de los megacariocitos circulantes, con el subsecuente aumento en la cantidad de citoplasma, y no necesariamente un incremento en la cantidad de megacariocitos liberados de la médula ósea.

La población final de las plaquetas tiene un volumen con curva de distribución log-normal, misma que se conserva en los individuos sujetos a trombocitopenia experimental. En este trabajo se demuestra que el parámetro crítico que determina el volumen final de las plaquetas es el volumen citoplásмico del megacariocito<sup>2</sup>.

En otra publicación<sup>3</sup> realizan la demostración matemática de la dependencia de ambos volúmenes celulares – de la plaqueta y del megacariocito. El razonamiento en este trabajo comienza con la observación del hecho conocido de que los mecanismos de fragmentación normalmente producen distribuciones lognormales, cualquiera que sea la población en estudio. La segunda premisa considera que el megacariocito produce las plaquetas, cuyo volumen final tiene una curva de distribución lognormal<sup>4</sup>.

Relacionando ambos hechos, el megacariocito liberado de la médula ósea produciría las plaquetas por un mecanismo de fragmentación de su citoplasma, que debe realizarse en la circulación venosa. El primer sitio estructurado anatómicamente de forma que permita

<sup>1</sup>Martin et al. *Throm Res*;1982.

<sup>2</sup>*ibidem*, p: 458

<sup>3</sup>Trowbridge et al. *Throm Res*;1982.

<sup>4</sup>Martin et al. *op. cit.*

la fragmentación mecánica de estas células es la circulación pulmonar, donde el diámetro de sección transversal de los vasos va disminuyendo progresivamente. (Fig. 1) En este trabajo<sup>5</sup> se demuestra que la relación entre las medias de ambos volúmenes es una constante que depende del valor esperado del factor de fragmentación en la circulación pulmonar.

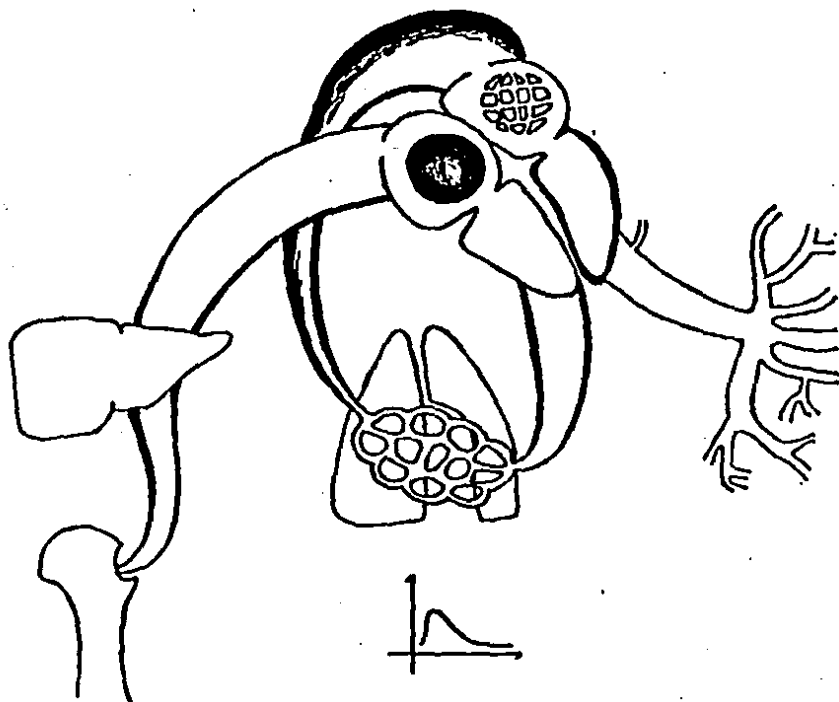


Fig. 1 Modelo de fragmentación física del megacariocito en la producción de las plaquetas.

La fragmentación física del citoplasma de los megacariocitos sería dependiente de la

<sup>5</sup>Trowbridge *et al.* op. cit.

estructura anatómica del árbol circulatorio pulmonar (invariable para cada individuo), así como de las presiones del flujo sanguíneo, que pueden determinar rutas específicas a seguir por los megacariocitos dentro de este mismo sistema. La fragmentación física como variable no es susceptible de manipulación experimental, por lo que su medición es indirecta, y se asume que es constante para un mismo individuo, siempre que no haya cambios en las presiones sanguíneas centrales por determinadas condiciones patológicas intratorácicas.

Las cardiopatías congénitas cianógenas ofrecen un modelo natural donde se puede estudiar la repercusión de la variación en la circulación pulmonar sobre la curva de distribución de los volúmenes de las plaquetas: CDVP. Las condiciones físicas dentro de la circulación pulmonar en diferentes pacientes aún con un mismo tipo de cardiopatía congénita cianógena son distintas dado que el grado de cortocircuito veno-arterial y por tanto las presiones dentro del sistema son diferentes, hecho que necesariamente tendría repercusión en la curva final de distribución del volumen plaquetario, en el caso de que la teoría de fragmentación física del citoplasma del megacariocito para producción de plaquetas sea cierta.

## §1.2: Importancia del Problema

Además de su papel central en la coagulación, las plaquetas regulan el crecimiento de tejidos susceptibles a factores contenidos en sus gránulos citoplásmicos. Estos factores de crecimiento ejercen sus efectos celulares de diversas formas, generalmente a través de receptores de membrana; y por el resultado que tienen en el ciclo celular, se consideran de competencia, cuando hacen a la célula competente para la síntesis de DNA –pasa de fase  $G_0$ , a  $G_1$ – o de progresión, cuando son capaces de hacer que una célula competente, progrese de fase  $G_1$  a síntesis de DNA<sup>6,7,8</sup>. En un proceso completo, la célula llega a mitosis, con la intervención de ambos tipos de factores de crecimiento actuando en forma coordinada (Fig. 2).

Para desatar los eventos bioquímicos que terminan en mitosis, estos factores actúan generalmente a través de receptores de membrana que se deben fosforilar para activar diversos sistemas intracelulares<sup>9,10</sup>. Si se trata de un factor de crecimiento de competencia, generalmente produce la autofosforilación de su receptor, así como la fosforilación de receptores para factores de crecimiento de progresión a través de la activación de la proteína cinasa C ( $PK_c$ )<sup>11</sup>, en presencia de  $Ca^{++}$ <sup>12</sup>.

<sup>6</sup>Pardee. *Proc Nat Acad Sci*;1974.

<sup>7</sup>Pledger et al. *Proc Nat Acad Sci*;1978.

<sup>8</sup>Campisi et al. *Exp Cel Res*;1984.

<sup>9</sup>Sibley et al. *Cell*;1987.

<sup>10</sup>Yarden et al. *Biochemistry*;1988.

<sup>11</sup>Nishizuka. *Nature*;1984

<sup>12</sup>Parker et al. *Cancer Cell*;1979.

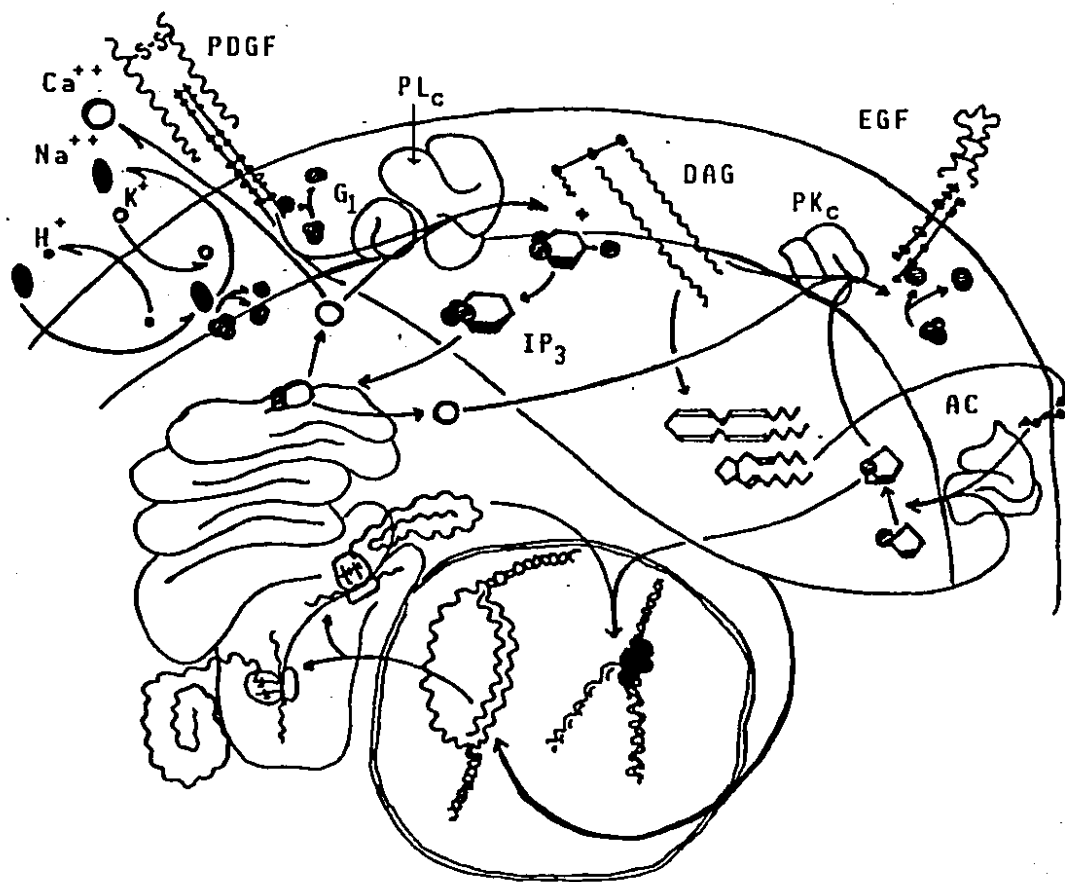


Fig. 2 Mecanismos bioquímicos de acción de factores de crecimiento.

Una vez fosforilado el receptor, de acuerdo al factor de crecimiento en juego, puede continuar la cascada de eventos intracelulares al internarse<sup>13</sup>, o bien por medio de segundos

<sup>13</sup>Fox et al. Fed Proc;1982.

mensajeros<sup>14</sup>.

A nivel de la membrana celular, los cambios conformacionales producidos por esta interacción factor de crecimiento-receptor, activan las bombas de electrolitos, con un efecto neto de salida de  $H^+$  y  $Ca^{++}$  con entrada de  $K^{+15}$ .

La fosforilación del receptor puede actuar también sobre la proteína  $G_1$ <sup>16</sup> dependiente de  $GTP$ , subunidad inhibitoria de la adenilato ciclase ( $AC$ ) -enzima transmembranal. La proteína  $G_1$ , además de inhibir la síntesis de  $AMP_C$ , en presencia de  $Ca^{++}$  estimula a la fosfolipasa  $C$  ( $P.L_c$ )<sup>17</sup> responsable de la digestión resultante de los fosfoglicéridos de membrana, que liberan al medio intracelular el diacilglicerol ( $DAG$ ), agente quimiotáctico potente, y fosfatidilinositol difosfato.

Una vez en el citoplasma, el diacilglicerol es digerido por lipasas inespecíficas que separan el ácido araquidónico; que queda como sustrato de la sintetasa de prostaglandinas  $G/H$ <sup>18</sup> y fuente de la familia de mediadores celulares conocidos como prostaglandinas, que pueden actuar sobre receptores en la misma célula que los originó y estimular a la adenilato ciclase para aumentar los niveles de  $AMP_C$  y crear una vía de retroalimentación positiva en el ciclo, al activar a la proteína cinasa  $C$ .

Dentro del citoplasma, el fosfatidil inositol difosfato es modificado a inositol trifosfato ( $IP_3$ ), que libera el  $Ca^{++}$  almacenado en el retículo endoplásmico liso y que como se ha comentado, es necesario para la acción de diversas enzimas involucradas en este sistema<sup>19</sup>.

En el caso del  $PDGF$ , la fosforilación del receptor estimula la síntesis de oncogenes y de otras proteínas para el crecimiento y función celulares; simultáneamente actúa sobre la adenilato ciclase y el aumento de  $AMP_C$  resultante, estimula directamente la síntesis de  $DNA$  para la mitosis<sup>20</sup>.

El  $PDGF$  es liberado sólo cuando la plaqueta se degranula y normalmente no se detecta en el plasma, debido a su rápida depuración *in vivo*<sup>21</sup>, lo que necesariamente implica que una vez liberado, debe haber no sólo células susceptibles, sino activadas —con expresión del receptor— en la cercanía, de otra forma no tendría efectos biológicos detectables<sup>22</sup>.

Este factor plaquetario de crecimiento es un heterodímero con una movilidad electroforética relativa aproximada de  $M_r = 30,000$ , cuyas cadenas, llamadas  $A$  y  $B$ , son codificadas por diferentes genes, localizados en el cromosoma  $7pter - 7q22$  y en el cromosoma  $22q12.3 - 13.1$ , respectivamente<sup>23</sup>.

<sup>14</sup>Beridge *et al.* *Nature*;1984.

<sup>15</sup>Rozengurt. *Science*;1986.

<sup>16</sup>Gilman. *Ann Rev Biochem*;1987.

<sup>17</sup>Seuwen *et al.* *Nature*;1988.

<sup>18</sup>Dewitt. *et al.* *Proc Nat Acad Sci*;1988

<sup>19</sup>Berridge *et al.* *op. cit.*

<sup>20</sup>Muller *et al.* *Nature*;1984.

<sup>21</sup>Bowen-Pope *et al.* *Blood*;1984.

<sup>22</sup>*ibidem*, p: 467

<sup>23</sup>Bonthrom *et al.* *Proc Nat Acad Sci*;1988.

Se ha demostrado además que la expresión de ambos genes está bajo mecanismos de control diferentes, la cadena *A* parece ser sintetizada en forma constitutiva desde el nacimiento, mientras que la *B* disminuye con la edad de la célula y aumenta en respuesta a estímulos bioquímicos microambientales<sup>24</sup>.

Algunos mitógenos neoplásicos secretan una sustancia semejante al *PDGF*, cuyo *RNA<sub>m</sub>* tiene una porción básica en la región *C-terminal* que corresponde a un exón completo, no expresado en el *PDGF* de células no tumorales<sup>25</sup>, esta porción parece favorecer la unión *A - A*, creando homodímeros que estimulan el crecimiento descontrolado de tejidos susceptibles.

Aunque fue descrito por primera vez en las plaquetas; se ha demostrado que es un factor de crecimiento presente en muchas células de los organismos vertebrados. Los mecanismos de regulación genética sólo operan en las células nucleadas.

Por tanto, la calidad de las cadenas del *PDGF* que se encuentra en los gránulos *α* del citoplasma de las plaquetas<sup>26</sup> depende de los mecanismos de regulación del *DNA* del megacariocito.

La cantidad se supone que está distribuida en forma homogénea de manera que las plaquetas más grandes tienen más *PDGF* y viceversa; es de esperarse entonces que las plaquetas voluminosas sean capaces de estimular más a los tejidos susceptibles, al tener mayor concentración de factores de crecimiento<sup>27</sup>.

Aunque la causa de la osteoartropatía hipertrófica es aún desconocida, la teoría humoral apoyada por la escuela del Dr. Manuel Martínez-Lavín<sup>28</sup> presupone la existencia de una alteración metabólica o anatómica en el territorio pulmonar con la consecuente presencia anormal de una sustancia *X* activa en la circulación sistémica.

Si la teoría de la fragmentación física de los megacariocitos es cierta y los sujetos con cardiopatía congénita cianógena tienen plaquetas circulantes de diferentes tamaños, la alta prevalencia de hipocratismo digital y osteoartropatía hipertrófica en estos individuos<sup>29,30</sup> podría estar relacionada a la presencia de plaquetas grandes, más capaces de estimular el crecimiento del tejido conjuntivo. La sustancia *X* hasta ahora desconocida, podría ser un factor de crecimiento contenido en el citoplasma de las plaquetas<sup>31</sup>, que puede ser el *PDGF*<sup>32</sup> u otro similar.

<sup>24</sup>Majesky et al. *Proc Nat Acad Sci*;1988.

<sup>25</sup>Bonthrom et al. op. cit.

<sup>26</sup>Bowen-Pope et al. op. cit.

<sup>27</sup>Thompson et al. *J Lab Clin Med*;1989

<sup>28</sup>Martínez-Lavín. *J Rheumatol*;1987.

<sup>29</sup>Martínez-Lavín et al. *Arthr & Rheum*;1982.

<sup>30</sup>Vázquez-Abad et al. *J Rheumatol*; en prensa.

<sup>31</sup>Martínez-Lavín. 1987; op. cit.

<sup>32</sup>Dickinson & Martin. *Lancet*; 1987.

### §1.3: Objetivo de la Investigación

De todo esto, se desprende la necesidad de estudiar a fondo a las plaquetas vistas como células efectoras, en las condiciones asociadas a la osteoartropatía hipertrófica.

Cambios en la cantidad total de citoplasma de las plaquetas circulantes, sea por aumento en el número total o en el volumen promedio, explicarían el aumento del efecto mitogénico, al haber un incremento en la cantidad liberada de un factor normal. Por otro lado, modificaciones en los genes de la célula precursora que codifican secuencias para los factores de crecimiento, podrían explicar la presencia de factores más mitogénicos en los que las diferencias estructurales, debidas a mecanismos pre o posttranscripcionales, serían suficientes para crear una alteración en los mecanismos de regulación con lo que el efecto neto sería la perpetuación de un evento biológico no regulado. En estos casos se podrían encontrar cantidades normales de factores de crecimiento anormales circulantes.

El objetivo sobre el que se centra esta tesis es el estudio del volumen plaquetario y sus curvas de distribución en los pacientes con cardiopatía congénita cianógena, que permita dar un paso inicial en la comprensión del papel de las plaquetas en estos sujetos; además sirve como modelo ideal en la validación de la teoría de la fragmentación física de los megacariocitos.

Los resultados que se encuentren respecto a las plaquetas con la presencia de la osteoartropatía hipertrófica será objeto de otros estudios, y no está contemplada en la presente tesis.

## Capítulo 2

---

### MODELO EXPERIMENTAL

#### §2.1: Hipótesis

Partiendo de la teoría de la fragmentación física del megacariocito en la circulación venosa, se ajustó el modelo a los casos con derivación venoarterial central por presencia de cortocircuito anatómico —*las cardiopatías congénitas cianógenas*.

En este modelo al llegar al corazón, el megacariocito tendría dos posibilidades inmediatas, por un lado tomar la vía pulmonar donde la fragmentación física sería normal y por ende la población final de plaquetas tendría la curva lognormal de distribución del volumen descrita.

Por otro lado, al pasar a través del defecto anatómico, en la circulación sistémica se encontraría con diferentes circuitos, cada uno con un patrón de bifurcación vascular particular: árboles vasculares donde las distancias desde los calibres arteriales iniciales hasta los de los capilares son completamente diferentes —*v.gr.* desde el de las arterias coronarias hasta las de miembros inferiores.

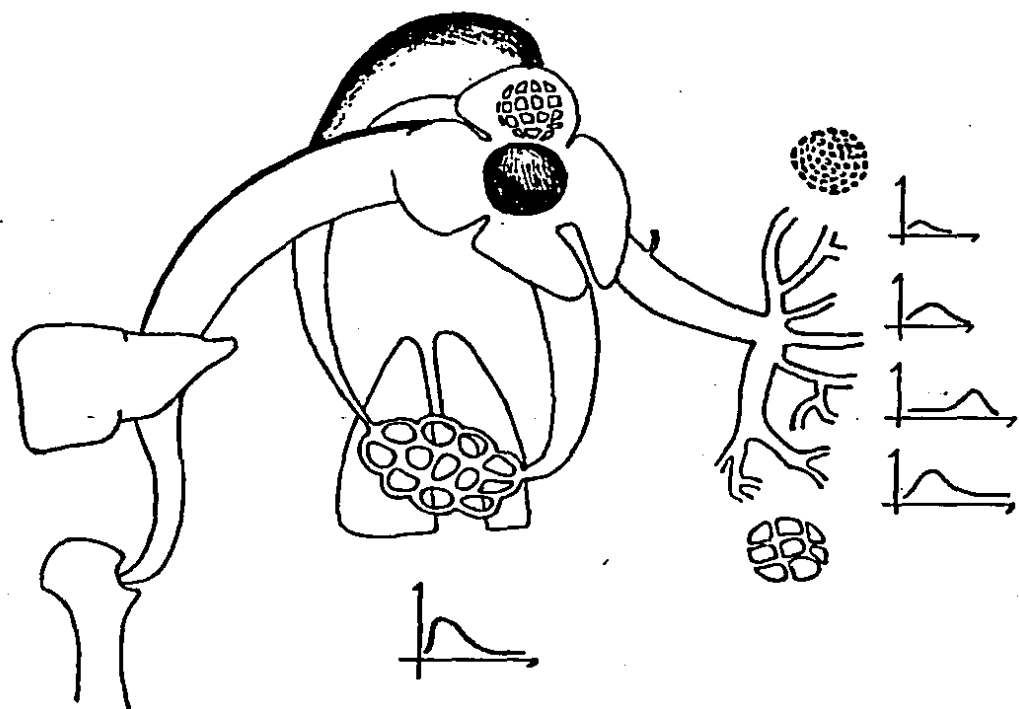
En la hipótesis de este trabajo se propone que el paso de los megacariocitos por cada una de las diversas rutas sistémicas determina un patrón de fragmentación distinto que da lugar una curva de distribución particular. La población resultante de plaquetas debe tener una curva de distribución del volumen no lognormal, sino producto de la mezcla de todas las distribuciones sumadas (Fig. 3).

De esta premisa se desprende además que el promedio del volumen plaquetario en estas distribuciones mezcladas, debe ser mayor al esperado en poblaciones sin cortocircuito venoarterial.

#### §2.2: Material y Método

En una primera etapa, se hizo una evaluación retrospectiva de los parámetros hematológicos disponibles en 19 pacientes con cardiopatía congénita cianógena.

Posteriormente se diseñó el estudio prospectivo que incluyó 14 pacientes con cardiopatía congénita cianógena con cortocircuito venoarterial demostrado por cateterismo cardíaco. Catorce controles fueron seleccionados al azar.



*Fig. 3 Hipótesis de trabajo.*

A cada sujeto de estudio se le tomó una muestra por venopunción antecubital con aguja calibre 21, de 2.5 a 3 ml de sangre con anticoagulante en polvo a concentraciones finales de 0.02% -etilendinitrilo tetracetato disódico: *EDTA*- procesada por un aparato Coulter Counter *S Plus* donde de cada muestra se realizaron una biometría hemática completa y una gráfica de la curva de distribución del volumen de las plaquetas. Para formar el grupo

control, se decidió tomar la muestra para biometría hemática de rutina siguiente a la de cada paciente estudiado.

En este sistema, la medición del volumen plaquetario medio es directa en sangre total, y está calibrado entre 0 y  $70 \mu\text{m}^3$ . Las curvas de distribución de volumen plaquetario se obtuvieron usando este modelo Coulter conectado a un registro X-Y, unido a un analizador de 64 canales; para las que está calibrado de 0 a  $20 \mu\text{m}^3$ . Se utilizó la solución de electrolitos Isoton II como diluyente.

El análisis estadístico de las diferencias entre las medias se hizo por *t* de Student. Debido a los grados de libertad tan bajos en el estudio prospectivo –en el retrospectivo no hay una población control de comparación–, no pudimos obtener límites de confianza confiables. En los casos de variables continuas relacionadas se hizo correlación de Pearson, calculando los valores de *r*. Los valores de *p* se determinaron para definir la significancia estadística en estas pruebas.<sup>33</sup>

El análisis de las gráficas obtenidas directamente del polígrafo integrado al Coulter Counter se hizo por comparación de la forma de cada curva con su control, y luego por grupos en global. No se realizaron estudios matemáticos de estos datos, debido a que las gráficas no se obtienen normalizadas, y carecemos de los valores originales que les dieron lugar.

---

<sup>33</sup>Para todos los cálculos se usaron los archivos respectivos del programa EPISTAT, así como los de la HP41C.

# RESULTADOS

### §3.1: Estudio Retrospectivo

#### Variables Hematológicas:

Los 19 pacientes incluidos tienen cardiopatía congénita cianógena. De los datos disponibles en las biometrías hemáticas se evaluaron el volumen plaquetario medio en  $\mu\text{m}^3$  -VPM- así como el número total de plaquetas  $\times 10^{-3}$ , el volumen corpuscular medio -VCM-, la hemoglobina y el hematocrito.

El volumen plaquetario medio fue de  $\bar{x} = 11.61 \pm 2.31$ , notablemente mayor a los valores considerados como normales. El número total de plaquetas fue bajo:  $149.16 \pm 42.7 \times 10^{-3}$ . El coeficiente de correlación por Pearson al comparar el número total de plaquetas vs el inverso del volumen plaquetario medio no fue significativo ( $r = 0.259$ ,  $p = 0.29$ ).

No hubo correlación significativa entre los valores del hematocrito y el número de plaquetas ( $r = 0.134$ ,  $p = 0.94$ ).

Debido a que en estos pacientes gran parte de las alteraciones hematológicas se deben a la deficiencia de hierro, se analizó el volumen corpuscular medio, que fue de  $\bar{x} = 81.01 \pm 13.43$ . En esta población no hubo correlación significativa entre el volumen corpuscular medio y el hematocrito ( $r = 0.61$ ,  $p = 0.12$ ).

Esta deficiencia de hierro, se relaciona inversamente al volumen plaquetario medio ( $r = -0.70$ ,  $p = 0.03$ ) y no tiene relación significativa sobre el número de plaquetas ( $r = -0.33$ ,  $p = 0.64$ ).

#### Variables Hemodinámicas:

La saturación arterial de  $O_2$  obtenida en el cateterismo cardíaco fue en promedio de  $\bar{x} = 77.6 \pm 7.7$ . Los efectos de esta hipoxemia sobre las variables hematológicas fueron también evaluados por coeficientes de correlación.

En esta población, no parece haber repercusión de la hipoxemia sobre el hematocrito ( $r = 0.44$ ,  $p = 0.4$ ). Tampoco se relacionó al volumen plaquetario medio ni al número de plaquetas, con  $r = -0.44$  y  $-0.40$  que corresponden a valores de  $p$  de 0.42 y de 0.61,

respectivamente. Sin embargo, la correlación entre la saturación arterial de  $O_2$  y el volumen corporcular medio fue estadísticamente significativa ( $r = 0.79$ ,  $p < 0.005$ ).

### §3.2: Estudio Prospectivo:

#### Variables Hematológicas:

En la tabla 1, al final de esta sección, se muestran los datos demográficos de los pacientes y de los controles, junto con los valores hematológicos obtenidos en la biometría hemática.

En la tabla 2 se pueden ver los valores medios en ambos grupos, las diferencias y su significancia estadística. El volumen plaquetario medio de los pacientes ( $\bar{x} = 11.028 \pm 3.09$ ) fue significativamente mayor al de los controles ( $\bar{x} = 8.414 \pm 0.79$ ,  $p = 0.005$ ), sin embargo, la diferencia estadísticamente significativa entre las varianzas ( $F = 15.38$ ,  $p < 0.001$ ) demuestra que son distribuciones distintas básicamente porque el grupo de pacientes es menos homogéneo (varianza = 9.596) que el de controles (varianza = 0.624).

El número total de plaquetas  $\times 10^{-3}$  fue significativamente menor en los pacientes, comparado con los controles:  $\bar{x} = 171.528 \pm 81.81$  vs  $\bar{x} = 319.929 \pm 69.46$ ,  $p < 0.001$ .

La masa plaquetaria, definida como el producto del VPM  $\times$  el número de plaquetas fue significativamente menor en los pacientes:  $\bar{x} = 1747.10 \pm 580.86$  que en los controles:  $\bar{x} = 2627.42 \pm 447.83$  ( $p < 0.001$ ).

El volumen plaquetario medio y el número total de plaquetas en ambos grupos en global, guardan una relación inversa no lineal con un coeficiente de correlación de Pearson entre el número total de plaquetas y el inverso del VPM de  $r = 0.77$  ( $r = 0.56$  y  $r = 0.70$  para los controles y los pacientes, respectivamente), con  $p < 0.005$ .

La diferencia en las medias del volumen corporcular medio entre pacientes y controles, no sólo es estadísticamente significativa ( $\bar{x} = 81.56 \pm 12.01$  vs  $92.15 \pm 5.15$ ,  $p = 0.005$ ), sino que se distribuye de forma distinta en ambos grupos (varianzas de 146.18 vs 26.55 respectivamente,  $F = 5.5$ ,  $p = 0.002$ ).

El volumen plaquetario medio y el volumen corporcular medio tomando ambos grupos en global, se relacionan inversamente con un coeficiente de correlación de Pearson de  $r = -0.537$ ,  $p < 0.005$ . Para el grupo de pacientes, el volumen corporcular medio se relaciona en forma inversa con el número de plaquetas,  $r = -0.76$  con significancia estadística ( $p = 0.001$ ).

#### Curvas de Distribución del volumen plaquetario medio:

En los 14 controles, las curvas de distribución del volumen plaquetario fueron lognormales (tipo I en la tabla), en ninguno de los 14 pacientes, en cambio, hubo curvas lognormales; en algunos la moda se ensanchó, con una pendiente de descenso sinuosa (tipo II); en otros, la pendiente final fue francamente ascendente (tipo III), reflejando la presencia de una población cuantitativamente considerable de plaquetas con volúmenes mayores o iguales a  $20\mu m^3$ .

**TABLA 1**  
**CARACTERISTICAS DEMOGRAFICAS Y HEMATOLOGICAS**

<b>Pacientes</b>	<b>Sexo/Edad</b>	<b>Hipocratismo Diagnóstico</b>	<b>Digital</b>		<b>Volumen</b>	<b>Cuenta</b>	<b>Hit</b>	<b>Tipo</b>
					<b>Plaquetario</b>	<b>Plaquetaria</b>	<b><math>\times 10^{-3}</math></b>	<b>CDVP</b>
1	F/51 años	+ +	Trilogía de Fallot	8.7	150	40.4	II	
2	F/17 años	+ +	Ventriculo único +estenosis pulmonar	8.9	237	54.3	II	
3	F/12 años	+ +	Enfermedad de Ebstein +comunicación interauricular	9	240	70.9	II	
4	F/26 años	+ +	Síndrome de Eisenmenger	10.9	92	65.7	II	
5	F/29 años	+ +	Comunicación inter- auriculoventricular +estenosis pulmonar	9.9	208	61	II	
6	M/11 años	+ +	Transposición corregida de las grandes arterias +estenosis pulmonar	7.5	359	53.3	II	
7	M/24 años	+ +	Transposición corregida de las grandes arterias	16.6	113	40.4	III	
8	M/36 años	+ +	Doble conducto de salida del ventrículo derecho +estenosis pulmonar	11.5	128	72	III	
9	F/14 años	+ +	Ventriculo único	9	132	67.5	II	
10	F/04 meses	+ +	Atresia pulmonar	12.8	69	66.3	II	
11	M/04 años	+ +	Tetralogía de Fallot	9.6	168	61.8	II	
12	M/01 años	+ +	Tronco común tipo I	10.3	173	42	III	
13	M/04 meses	+ +	Tetralogía de Fallot +estenosis pulmonar	18.5	94	51.5	III	
14	M/25 años	+ +	comunicación interventricular + cortocircuito invertido	11.2	138	69.5	III	
<hr/>								
<b>Controles</b>								
1	M/39 años	- -	Hipertensión arterial sistémica	8.4	381	31	I	
2	M/55 años	- -	Aterosclerosis coronaria	9.4	262	43.3	I	
3	M/02 años	- -	Corrección quirúrgica de comunicación interauricular	6.6	427	42	I	
4	F/06 años	- -	Bronquitis aguda	8.8	291	40.7	I	
5	M/39 años	- -	Posttrasplantado renal	8.4	317	25.7	I	
6	M/37 años	- -	Aterosclerosis coronaria	7.9	331	42.9	I	
7	F/59 años	- -	Diabetes mellitus	7.8	382	43.4	I	
8	M/49 años	- -	Nefropatía diabética	7.8	384	30	I	
9	M/57 años	- -	Postoperado de injertos de puentes coronarios	8.7	417	47	I	
10	F/77 años	- -	Enfermedad pulmonar obstructiva crónica	9.3	300	39.8	I	
11	M/68 años	- -	Hipertensión arterial sistémica	9.1	239	46	I	
12	F/70 años	- -	Diabetes mellitus	7.8	288	34.3	I	
13	F/04 años	- -	Cardiopatía reumática inactiva	8.4	259	42.8	I	
14	F/32 años	- -	Hipertensión arterial sistémica	9.4	201	46.2	I	

TABLA 2

	Pacientes	Controles	<i>t</i> de Student	<i>p</i>	<i>p</i> Fisher
VPM varianza	11.02 9.59	8.41 0.68		= 0.005 -	- < 0.001
No. de Plaquetas varianza	171.529 6692.87	319.929 4824.69		< 0.001 -	- -
Masa Plaquetaria varianza	1747.10 336400	2627.42 228321		< 0.001 -	- -
VCM varianza	81.56 146.18	92.15 26.55		= 0.005 -	- = 0.002

Al final de este trabajo, se anexan todas las gráficas obtenidas. La numeración de los pacientes y de los controles corresponde a la de la tabla 1, donde puede ubicarse el tipo de gráfica que se asignó a cada una en particular.

## **Capítulo 4**

### **DISCUSION**

#### **§4.1: Volumen plaquetario medio y número de plaquetas**

De los análisis retrospectivo y prospectivo es claro que los pacientes con cardiopatía congénita cianógena e hipocratismo digital tienen plaquetas de mayor tamaño y en menor cantidad.

En estudios previos<sup>34,35</sup> se ha corroborado que estos pacientes tienen pocas plaquetas. La relación del número bajo con el volumen aumentado de las plaquetas en estos individuos ha sido descrita desde 1974 por O'Brien, aunque definida correctamente hasta 1981 por Bessman *et al.*, y más concretamente determinada como una función inversa no lineal por Levin *et al.*<sup>36</sup>, quienes presentan las curvas obtenidas al graficar ambos valores en poblaciones normales y en diversas poblaciones con condiciones patológicas asociadas a alteraciones hematológicas –particularmente del número de plaquetas-. Aunque en este trabajo queda clara la relación matemática que guardan estas variables, no sólo no se da la explicación biológica de este fenómeno, sino que queda como una interrogante para estos autores.

Con la teoría de fragmentación del megacariocito es lógico que a medida que el megacariocito sufre más fragmentaciones resultan más plaquetas aunque de menor tamaño que si se fragmentara menos. De hecho la relación esperada en este modelo es la inversa no lineal, que ha sido descrita.

Los resultados del estudio retrospectivo –donde sólo contamos con el grupo de pacientes– aunque muestran una relación inversa entre ambas variables, al hacer la corrección usando el inverso del volumen contra el número de plaquetas no hubo la correlación esperada. Sin embargo, en los sujetos del estudio prospectivo esta correlación fue significativa para ambos grupos, que corresponde a lo predicho si suponemos que las características de la población de plaquetas de los individuos al momento de la toma de la muestra están

<sup>34</sup>Waldman *et al.* *J Pediatr*; 1975.

<sup>35</sup>Perloff *et al.* *Ann Int Med*;1988.

<sup>36</sup>Levin *et al.* *J Clin Med Exp*;1983.

solamente en función de su génesis a partir de la fragmentación del megacariocito en las bifurcaciones circulatorias, sin que haya factores periféricos que las modifiquen.

Aún a la luz de estos resultados, la masa plaquetaria o el producto de las variables relacionadas inversamente –volumen plaquetario medio × número de plaquetas– fue significativamente menor en los pacientes que en los sujetos del grupo control, es decir que para el tamaño que tienen estas plaquetas, aunque se esperaría que fuesen en total menos que con plaquetas más chicas, los pacientes estudiados tienen aún un número total circulante bastante menor al esperado.

Es importante considerar que en estos pacientes, el hematocrito elevado que los caracteriza podría explicar los valores bajos en el número de plaquetas por desplazamiento, y no porque realmente estén bajas. Para descartar esta posibilidad, obtuvimos los coeficientes de correlación entre el hematocrito y el número de plaquetas que en el estudio retrospectivo, no resultó significativo. Es muy posible entonces que de hecho en estos pacientes estemos detectando la cantidad real de plaquetas circulantes, que es baja.

Diversas posibilidades podrían explicar el bajo número real de plaquetas circulantes –respecto al número esperado ajustado al volumen promedio. Se sabe que la deficiencia de hierro en estos pacientes tiene muchas repercusiones sobre algunas variables hematológicas<sup>37</sup>. Estimula la eritropoyesis independientemente de la regulación negativa dada por las cifras del hematocrito –condición que, cuando está presente, complica el manejo de estos individuos<sup>38</sup>.

En los pacientes estudiados retrospectiva y prospectivamente hay déficit de hierro, determinado por el volumen corpuscular medio, más aún, al comparar las cifras en el estudio prospectivo contra las de los controles, no sólo resulta significativa la diferencia en las medias, sino que las varianzas difieren de modo tal que confirman la presencia de distribuciones distintas –de lo que resulta que el volumen corpuscular medio tiene valores muy disímiles entre los pacientes. Si las células precursoras de la serie roja nacen de la médula ósea de menor tamaño por falta de hierro, podría pensarse que los megacariocitos también pueden nacer de menor tamaño en estas condiciones, y aunque se fragmentasen menos y produjeran plaquetas más grandes, el número total de ellas resulta menor dado que el parámetro crítico en la relación de volumen y número de acuerdo a la teoría de fragmentación<sup>39</sup> es la cantidad de citoplasma inicial del megacariocito.

En el estudio retrospectivo la correlación –que resultó significativa– fue negativa entre las medias de ambos volúmenes, el corpuscular y el plaquetario, y tomando tanto a los pacientes como al grupo control del estudio prospectivo en global, confirmamos la correlación inversa significativa entre estos parámetros. En estos pacientes, la deficiencia de hierro generalmente se debe a las flebotomías a que se someten periódicamente<sup>40</sup>.

<sup>37</sup> Perloff et al. op. cit.

<sup>38</sup> ibidem, p 411

<sup>39</sup> Martin et al. op. cit

<sup>40</sup> Perloff et al. op. cit.

Basados en la hipótesis de este trabajo, el volumen final de las plaquetas y su número estarían relacionados a un patrón vascular de bifurcaciones diferente al pulmonar que eventualmente llevaría al megacariocito a fragmentarse menos. Si el megacariocito saliese con menos citoplasma, por el déficit de hierro, el volumen final de las plaquetas debería disminuir, aunque dependería también de la fragmentación por el paso a través de las bifurcaciones vasculares del territorio sistémico. También descendería la cantidad final de plaquetas; entonces, el volumen de las plaquetas tendría que relacionarse directamente a la deficiencia de hierro, por lo que la relación inversa significativa entre ambas variables no se explica. Por otro lado si la deficiencia de hierro determinase la salida de megacariocitos más chicos como explicación a la baja cantidad de plaquetas, esperaríamos encontrar correlación positiva entre ambos parámetros, que el grupo retrospectivo no la tuvo y el prospectivo no sólo la tuvo negativa, sino altamente significativa.

Queda una posible explicación para el bajo número real de plaquetas, respecto al esperado y es la destrucción periférica de estas plaquetas grandes, concepto que se ve apoyado por la observación de que en estos pacientes la sobrevida plaquetaria está disminuida<sup>41</sup>.

Cabe mencionar que respecto al volumen plaquetario medio elevado de estos pacientes así como al volumen corpuscular medio bajo en ambas poblaciones de pacientes que se estudiaron, las varianzas muestran la heterogeneidad en la distribución de estos parámetros. Los pacientes tienen plaquetas de tamaños muy variados, y feropenia variable -incluso algunos tienen valores normales.

Estos resultados apoyan la hipótesis de trabajo. Más aún, los resultados obtenidos y que han sido discutidos en este capítulo se entienden sobre la base de la misma hipótesis, y quedan en cambio sin explicación cuando se tratan de ajustar a los conceptos tradicionales referentes al origen de las plaquetas por *germación* a partir del citoplasma del megacariocito.

Otro aspecto que se menciona al estudiar pacientes con esta patología cardiaca es el referente a la hipoxemia. Aunque la teoría humorar de la génesis de la osteoartropatía hipertrófica implica la alteración del árbol pulmonar -metabólica o anatómica- y en los pacientes con cortocircuito venoarterial central la hipoxemia se debe a la exclusión parcial del flujo pulmonar, la saturación arterial de  $O_2$  como variable continua depende del intercambio de gases, proceso que no necesariamente se relaciona al grado de derivación del flujo total que escapa hacia la circulación sistémica, que sería en cambio determinante en cuanto a las características finales de la población de plaquetas de acuerdo a nuestra hipótesis, así como a la presencia de osteoartropatía hipertrófica de acuerdo a la teoría humorar<sup>42</sup>.

Es por esto que no pensamos que la hipoxemia sea un parámetro significativo en nuestro estudio, concepto que se corrobora al ver que la saturación arterial de  $O_2$  no tuvo en el estudio retrospectivo correlación significativa con el número ni el volumen medio de las plaquetas. Coinciendo con otros autores<sup>43</sup> tampoco se relacionó al hematocrito,

<sup>41</sup> Waldman et al. op. cit. —

<sup>42</sup> Martínez-Lavín. op. cit; 1987

<sup>43</sup> Perloff et al. op. cit.

mismo que parece ser más bien dependiente de la deficiencia de hierro, que del grado de hipoxemia del individuo.

Sin embargo, nos llama la atención haber encontrado correlación entre el grado de hipoxemia y el déficit de hierro. Tal vez los pacientes cuya médula ósea se ha mantenido con bajos niveles de  $O_2$  arterial sea la más afectada manifestado por bajos niveles de  $Fe^{++}$  en la serie roja. En caso de que este razonamiento sea cierto, el hecho de que no veamos la repercusión sobre la población de plaquetas, aún con una supuesta médula ósea alterada por la hipoxemia, apoya aún más la idea de que las plaquetas se producen a nivel periférico, y poco tiene que ver la médula ósea, aún afectada por la hipoxemia, una vez que libera al megacariocito en la circulación venosa.

#### §4.2: Curvas de Distribución del Volumen Plaquetario

Los tipos de gráficas obtenidas, y que de momento y en forma arbitraria hemos dividido en tres, muestran claramente que, mientras que la lognormal es fácilmente identificable – tipo I – en los controles, las otras caen más bien bajo un mismo tipo de curva que muestra en todos los casos una curva *no lognormal*, mezcla de muchas distribuciones. En algunas predomina, como ya dijimos la presencia de plaquetas de gran tamaño, que eleva el trazo al final de la curva – tipo III –, pero de cualquier forma todas tienen configuraciones complejas, producto de la suma de muchas distribuciones, que había sido predicho en la hipótesis de trabajo.

Esta misma hipótesis nos haría pensar que en los sujetos en que la posibilidad de que la derivación central ( $P_2$ ) sea menor a la probabilidad de que tomen la vía normal ( $P_1$ ), las curvas de distribución deberían ser las menos alejadas de la lognormal, y en cambio en aquellos con más derivación del flujo ( $P_2 > P_1$ ) deberían ser los sujetos con las curvas tipo III. Sobre una base meramente clínica, puede verse de la tabla 1 que en efecto los pacientes con cardiopatía complicada con estenosis pulmonar y con otras condiciones con flujo aórtico preferencial, como el tronco común tipo I, no sólo son los que tienen plaquetas de mayor tamaño, sino que también corresponden a las curvas más afectadas.

Debido a que una misma cardiopatía puede manejar distintas presiones dentro del sistema y a que éstas son determinantes de la dirección del flujo preferencial, esta evaluación clínica no es desde luego suficiente para poder predecir qué sujetos tendrán la población de plaquetas más anormal.

Una medición del cortocircuito tal vez fuese más adecuada para tratar de relacionar la gravedad de afección en las curvas con la razón  $\frac{P_2}{P_1}$  en cada caso, sin embargo, el paciente puede tener mucho cortocircuito, y, si tiene por ejemplo hiperflujo pulmonar, podría tener curvas donde haya predominio de la lognormal. Por el momento, la medición directa de ambas probabilidades –  $P_1$  y  $P_2$  – no es factible; inclusive si nuestros datos llegan a corroborarse y reproducirse en poblaciones más numerosas, el análisis de las curvas de distribución del volumen plaquetario podría ser un instrumento de medición indirecta de valor en la estimación de la relación que guardan los flujos ( $\frac{P_1}{P_2}$ ) en cada paciente.

## Capítulo 5

### CONCLUSIONES

#### §5.1: Conclusiones:

Los hallazgos indudables de que los pacientes con osteoartropatía hipertrófica secundaria a cardiopatía congénita cianógena tienen pocas plaquetas de gran tamaño, debido la mezcla de distribuciones en las curvas del volumen plaquetario, apoyan en forma directa la teoría de la fragmentación física del megacariocito en el pulmón.

Los demás resultados discutidos en el capítulo anterior; no se explican con la teoría clásica de la formación de plaquetas en la médula ósea, aunque no la descartan; de hecho, la observación de que los megacariocitos pueden formar plaquetas en cultivos *in vitro*<sup>44</sup>sin necesidad de sufrir fragmentación del citoplasma, aunque no en forma conclusiva, tiene más sentido a la luz del concepto tradicional –aunque deberá descartarse que sea sólo un fenómeno artificial, y que no se dé en forma natural.

Por último, la relación entre la osteoartropatía hipertrófica y las alteraciones plaquetarias que hemos encontrado y descrito, surge de las siguientes premisas: por un lado, la alteración tanto de los volúmenes y número de plaquetas como de la presencia de la osteoartropatía hipertrófica requieren la presencia de una circulación pulmonar anormal. Si la derivación hacia el flujo sistémico hace que los megacariocitos se fragmenten menos y produzcan plaquetas grandes sería lógico pensar que por el aumento en el volumen, tiendan a destruirse en la periferia, liberando factores de crecimiento contenidos en sus gránulos. A este respecto, además de la diminución en la sobrevida plaquetaria ya comentada<sup>45</sup> también se ha corroborado que las plaquetas de los sujetos con osteoartropatía hipertrófica secundaria tienen menos cantidad de serotonina<sup>46</sup>, presumiblemente porque la han liberado –junto con otros factores de su citoplasma. Además se ha demostrado que el aumento en el volumen plaquetario medio se correlaciona directamente con la dosis de

<sup>44</sup>Tange *et al.* *Lancet*;1988

<sup>45</sup>Waldman *et al.* *op. cit.*

<sup>46</sup>Gow *et al.* *Lancet*;1988

prostaciclina necesaria para inhibir la degranulación *in vitro*<sup>47</sup>, así como con la capacidad absoluta de las plaquetas para liberar metabolitos activos del ácido araquidónico<sup>48</sup>.

Con estos antecedentes, pensamos que uno o varios de los factores de crecimiento que liberan al degranularse en la periferia podrían ser responsables de los cambios en el metabolismo del tejido conjuntivo en piel y periostio, que respondería con aumento en la matriz intracelular y vascularidad, características de esta enfermedad<sup>49 ,50</sup>.

### §5.2: Sugerencias a estudios posteriores:

Para corroborar que los cambios encontrados en las plaquetas se deben en efecto al paso del flujo por la vía de derivación anormal, debe realizarse esta misma comparación de las curvas del volumen plaquetario, usando como modelo pacientes con persistencia del conducto arterioso hipertensos, pues en este modelo la sangre que va de aorta hacia los miembros superiores y que viene de las venas pulmonares, no está mezclada y deberá tener plaquetas normales, en cambio, por debajo del cayado, al haber comunicación con la arteria pulmonar, en condiciones con hipertensión pulmonar, la sangre se deriva antes de producir las fragmentaciones normales, por lo que las plaquetas de los miembros inferiores deben producir curvas de distribución del volumen plaquetario anormales.

Otro estudio pertinente sería estudiar a sujetos con comunicación interauricular durante el cateterismo cardiaco, y tomar muestras de venas pulmonares y de vena cava superior, para comparar ambas curvas de distribución. El problema de este modelo es que habrá que considerar muchos factores que podrían estar sesgando los resultados, como por ejemplo el hecho de que la toma de la muestra sea por catéter, y de que quizás al haber megacariocitos o grandes fragmentos de citoplasma en la vena cava, el aparato no los registre en las curvas de plaquetas, debido a la calibración.

Para descartar la producción de plaquetas *in vivo* a partir de gemación del citoplasma del megacariocito en su salida de la médula ósea, habría que realizar estudios que contemplen el análisis de la médula ósea y quizás otros modelos de estudio con patología hematológica.

Por último, para la conclusión final comentada, habrá que desarrollar estudios *in vitro* para identificar la sustancia circulante en los pacientes que afecta el metabolismo de los fibroblastos.

Estudios preliminares en síntesis de DNA, de proteína total y de proliferación celular con fibroblastos *in vitro* han permitido la caracterización inicial de una proteína dependiente del Ca<sup>++</sup> presente en altas concentraciones en el plasma de pacientes con osteoartropatía hipertrófica secundaria, que es un factor de crecimiento para fibroblastos<sup>51</sup>.

<sup>47</sup> Jakubowski et al. *J Lab Clin Med*;1985

<sup>48</sup> Jakubowski et al. *Br J Haematol*;1989

<sup>49</sup> Bigler. *Am J Pathol*;1958

<sup>50</sup> Vogl et al. *Am J Med*;1962

<sup>51</sup> Vázquez-Abad et al. *Libro de resúmenes del XVII C.M.R*;1989

Para precisar la naturaleza bioquímica de esta proteína es necesario continuar esta línea de investigación, y detectar en qué fracción del plasma -separado por cromatografía en gel de sefarosa- se encuentra la actividad, así como estudiar el plasma en presencia de anticuerpos generados contra *factores de crecimiento* específicos, como el anti-*PDGF*, para identificar en forma conclusiva la proteína que puede estar causando el síndrome clínico.

Por supuesto, se requiere ampliar el grupo de estudio a pacientes con otras patologías asociadas a la osteoartropatía hipertrófica y estudiar la relación que guardan el volumen plaquetario medio y el número de plaquetas en ellos. Si se corrobora en todos estos grupos de pacientes que la masa plaquetaria es baja, habrá que corroborar la sospecha de la destrucción de plaquetas *in vivo*, midiendo productos de degranulación como  $\beta$ TG y factor 4 plaquetario así como buscar la causa, pues aunque pruebas *in vitro* han demostrado que tan sólo el aumento de tamaño hace que se degranulen más y sean más activas<sup>52</sup><sup>53</sup><sup>54</sup> habrá que descartar la presencia de anticuerpos antiplaquetas, e incluso describir los niveles de anticuerpo antifosfolípido en estos pacientes -que podrían elevarse como causa o consecuencia de la destrucción plaquetaria.

En los casos de afección primaria, y posiblemente en algunos casos asociados a neoplasias podría haber plaquetas de morfología normal, pero con alteración en la secuencia primaria de alguno de sus factores de crecimiento, que se asocie con la expresión no regulada de oncogenes y amplifiquen la respuesta de las células blanco. Por otro lado, habrá que investigar la posibilidad de que este *factor de crecimiento* tenga repercusión sobre células del sistema inmune cuya respuesta no está asociada a anticuerpos -células asesinas naturales NK-<sup>55</sup> y su posible papel en la fisiopatología de la osteoartropatía hipertrófica en este grupo de pacientes.

Desarrollar modelos animales, una vez identificada y aislada la proteína para los distintos casos de osteoartropatía hipertrófica será el paso decisivo en la demostración de que la presencia una sustancia circulante en estos sujetos, posiblemente derivada de las plaquetas, sea la causa del síndrome cuyas manifestaciones han sido conocidas en la *Historia de la Medicina*, desde sus orígenes en los tiempos de *Hipócrates* que fue el primero en identificar la anormalidad digital que lleva su nombre, y que ahora sabemos que es el signo cardinal de la osteoartropatía hipertrófica.

<sup>52</sup>Jakubowski et al. *Br J Haematol*;1983

<sup>53</sup>Jakubowski et al. *J Lab Clin Med*;1985

<sup>54</sup>Thompson et al. *J Lab Clin Med*;1983

<sup>55</sup>Gersuk et al. *J Immunol*;1988

## Referencias

---

1. Berridge MJ & Irving RF. "Inositol Triphosphate, a novel second messenger in cellular signal transduction." *Nature* 1984;312:315-321.
2. Bigler FC. "The morphology of clubbing". *Am J Pathol* 1958;34:237-261.
3. Bonthrom DT, Morton CC, Orkin SH & Collins T. "Platelet-derived growth factor A chain: gene structure, chromosomal location, and basis for alternative mRNA splicing." *Proc Nat Acad Sci* 1988;85:1492-1496.
4. Bowen-Pope D, Malpass T, Foster D & Russel R. "Platelet-derived growth factor *in vivo*: levels, activity and rate of clearance." *Blood* 1984;64:458-469.
5. Campisi J, Morreco G & Pardee AB. "Kinetics of  $G_1$  transit following brief starvation for serum factors." *Exp Cell Res* 1984;152:459-466.
6. Dewitt DL & Smith WL. "Primary structure of prostaglandin G/H synthase from sheep vesicular gland determined from the complementary DNA sequence." *Proc Nat Acad Sci* 1988; 85:1412-1416.
7. Dickinson CJ & Martin JF. "Megakaryocytes and platelets clumps as the cause of finger clubbing." *Lancet* 1987;ii:1434-1435.
8. Fox CF, Linsley PS & Wran M. "Receptor remodeling and regulation in the action of epidermal growth factor." *Fed Proc* 1982;41:2988-2995.
9. Gersuk GM, Chang W & Pattemore PK. "Inhibition of human natural killer cell activity by platelet-derived growth factor. II. Membrane binding studies, effects of recombinant  $IFN_\alpha$  and  $IL_2$ , and lack of effect on T-cell and antibody-dependent cellular cytotoxicity." *J Immunol* 1988;141:4031-4038.
10. Gilman AG. "G Proteins: transducers of receptor-generated signals." *Ann Rev Biochem* 1987;56:615-649.
11. Gow IF, Jones DB, Billet J, France A & Edward CR. "Platelet serotonin concentration in patients with finger-clubbing." *Lancet* 1988;ii:579.
12. Jakubowski JA, Adler B, Thompson CB, Valeri CR & Deykin D. "Influence of platelet volume on the ability of prostacyclin to inhibit platelet aggregation and the release reaction." *J Lab Clin Med* 1985;105:271-276.
13. Jakubowski JA, Thompson CB, Vaillancourt R, Valeri CR & Deykin D. "Arachidonic acid metabolism by platelets of differing size." *Br J Haematol* 1989;58:503-511.
14. Levin J & Bessman JD. "The inverse relationship between platelet volume and platelet number. Abnormalities in haematologic disease and evidence that platelet size does not correlate with platelet age." *J Clin Med Exp* 1989;198:295-307.
15. Majesky M, Benditt EP & Schwartz SM. "Expression and developmental control of platelet-derived growth factor A chain and B chain/sis genes in rat aortic smooth muscle cells." *Proc Nat Acad Sci* 1988;85:1524-1528.

16. Martínez-Lavín M, Bobadilla M, Casanova JM, Attié F, Martínez M. "Hypertrophic osteoarthropathy in cyanotic congenital heart disease: its prevalence and relationship to bypass of the lung." *Arthr & Rheum* 1982;25:1186-1193.
17. Martínez-Lavín M. "Digital clubbing and hypertrophic osteoarthropathy: a unifying hypothesis." *J Rheumatol (editorial)* 1987;14:8-8.
18. Martin JF, Trowbridge EA, Salmon GL & Slater DN. "The relationship between platelet and megakaryocyte volumes." *Throm Res* 1982;28:447-459.
19. Muller R, Bravo R & Burckhardt J. "Induction of c-fos gene and protein by growth factors precedes activation of c-myc." *Nature* 1984;312:716-720.
20. Nishizuka Y. "The role of protein kinase C in cell surface signal transduction and tumour promotion." *Nature* 1984;308:693-698.
21. Pardee AB. "A restriction point for control of normal animal cell proliferation." *Proc Nat Acad Sci* 1974;71:1286-1290.
22. Parker PJ, Downward J, Earp HS, Gullick W, Seeburg P, Ullrich A, Kris R, Schlessinger J & Waterfield MD. "Structure and function of the epidermal growth factor receptor and its interaction with protein kinases A & C." *Cancer Cells* 1986;9:356-358.
23. Perloff JF, Rosove MH, Child JS & Wright GB. "Adults with cyanotic congenital heart disease: hematologic management." *Ann Int Med* 1988; 109:406-413.
24. Pledger WJ, Stiles CD, Antoniades HN & Scher CD. "An ordered sequence of events is required before *Balb<sub>c</sub>*3T3 cells become committed to DNA synthesis." *Proc Nat Acad Sci* 1978;75:2839-2843.
25. Rozengurt E. "Early signals in the mitogenic response." *Science* 1986;234:161-164.
26. Seuwen K, Magnaldo I, Pouysségur J. "Serotonin stimulates DNA synthesis in fibroblasts acting through 5HT<sub>1B</sub> receptors coupled to a G<sub>i</sub> protein." *Nature* 1988;355:254-256.
27. Sibley DR, Benovic JL, Caron MG & Lefkowitz RJ. "Regulation of signaling by receptor phosphorylation." *Cell*. 1987;48:913-922.
28. Tange T, Takei Y, Takaai S, Nakayama K, Kitamura K, Takaku F & Urano Y. "In vitro production of human platelets." *Lancet* 1988;ii:218.
29. Thompson CB, Jakubowski JA, Quinn PG, Deykin D & Valeri CR. "Platelet size as a determinant of platelet function." *J Lab Clin Med* 1989;101:205-213.
30. Trowbridge EA, Martin JF & Slater DN. "Evidence for a theory of physical fragmentation of megakaryocytes, implying that all platelets are produced in the pulmonary circulation." *Throm Res* 1982;28:461-475.
31. Vázquez-Abad D, Pineda C & Martínez-Lavín M. "Digital clubbing: a numerical assessment of the deformity." *J Rheumatol* 1989; en prensa.
32. Vázquez-Abad D, Cabral AR, Alarcón-Segovia D & Martínez-Lavín M. "Factores de crecimiento en el plasma de pacientes con osteoartropatía hipertrófica secundaria: caracterización inicial." *Revista Mexicana de Reumatología* 1989;4:5 (Trabajo No. 10).

33. Vogl A & Sidney G. "Pachydermoperiostosis: primary or idiopathic hypertrophic osteoarthropathy." *Am J Med* 1962;82:166-187.
34. Waldman JD, Czapek EE, Paul MH, Schwartz AD, Levin DL & Schindler S. "Shortened platelet survival in cyanotic heart disease." *J Pediatrics* 1975;87:77-79.
35. Yarden Y & Ullrich A. "Molecular signal transduction by growth factors." *Biochem* 1988;27:3113-3119.

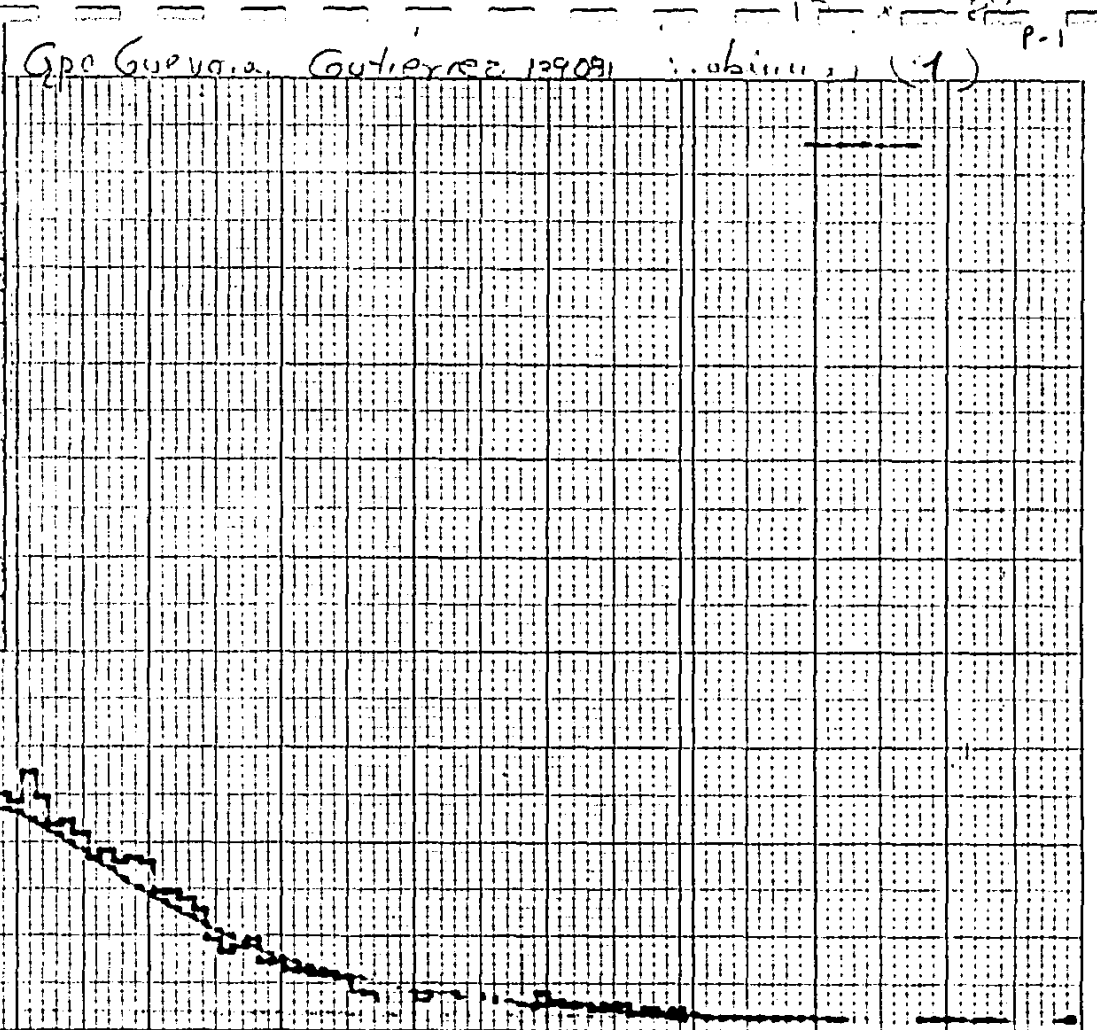


# HEMATOLOGIA

1.3	1.2	8.8	PAC No	0.46
RA	CUB OP	VARIABLES NORMALES		
5 .3	LEUC	M 70 ± 3	Rels	
5 .02	LEU% 10	M 54 ± 07	VSG	
1.3 .0	RDW 10	M 160 ± 5	OBS	
4.0 .4	HGB 10	M 41 ± 5		
8.0 .5	WBC 10 <sup>3</sup>	M 0.1 ± 0.9		
2.5 .8	HGM 10 <sup>3</sup>	M 29 ± 3		
3.2 .1	CHCM 10 <sup>3</sup>	M 39 ± 7		
1.1 .8	AUE %	M 10 ± 15		
1.5 0	PLAU 10 <sup>3</sup>	M 100 - 400		
1.3 1	TET	0.106 ± 0.011		
8 .7	VEBT	6.26 ± 0.76		
1.4 8	ADP	0.91 ± 0.12		

## FÓRMULA LEUCOCITARIA

MORFOLOGIA	1	2	3	4
	+	-	-	-
NEUTRO	-	-	-	-
ESO	-	-	-	-
MONO	-	-	-	-
ERITRO	-	-	-	-
LYMPHO	-	-	-	-
PLAQUETAS	-	-	-	-
NEUTRO	-	-	-	-
ESO	-	-	-	-
MONO	-	-	-	-
ERITRO	-	-	-	-
LYMPHO	-	-	-	-
PLAQUETAS	-	-	-	-



Mo Ling-ian) doiso Jasso 158495 Prokiumma (2)

HEMATOLOGIA

13 12 88  
 6 0  
 5 66  
 17 4  
 54 3  
 95 9  
 30 7  
 32 0  
 11 4  
 237  
 .213  
 8 9  
 14 5.

1 ALB 0  
 1 Hb 2  
 1 Hct 2  
 1 MCV 2  
 1 MCH 2  
 1 MCHC 2  
 1 RDW 2  
 1 WBC 2  
 1 RBC 2  
 1 PLT 2  
 1 CHM 2  
 1 CHCM 2  
 1 CHWC 2  
 1 ADL 2  
 1 PLAO 2  
 1 PLT 2  
 1 Tc 2  
 1 VFM 2  
 1 AHP 2

029

RBC  
 VSG  
 ODS

FORMULA LEUCOCITARIA

MORFOLOGIA	1	2	3	4
------------	---	---	---	---

ANOCITO

EOS

NEUT

LYMP

MONO

BLAST

SEG

RELATIVE NUMBER

2.0/ $\mu\text{m}^3$

20/ $\mu\text{m}^3$

20/ $\mu\text{m}^3$

CUBIC MICROMETERS  
—PLATELET VOLUME—

BABCO



## HEMATOLOGIA

13 1/2 88

SA COD OP

PAC No.

045

VALORES  
NORMALES4 9 LEUC.  $\times 10^3$  M 28 - 38 57 ERYT.  $\times 10^3$  M 54 - 97

20 3 Hgb. g/dl F 43 - 61

70 9 Hct. % M 16.0 - 2

82 7 VCM  $\mu\text{m}^3$  F 47 - 523 7 HCM  $\mu\text{m}^3$  M 29 - 228 6 CHCM  $\mu\text{m}^3$  F 39 - 213 3 ADE  $\times 10^3$  M 10 - 1524 0 PLAO  $\times 10^3$  M 130 - 40021 8 RET.  $\mu\text{m}^3$  0.108 ± 0.2319 0 VFM  $\mu\text{m}^3$  6.258 ± 9.74614 2 RDP  $\mu\text{m}^3$  11.91 ± 16.12

## FORMULA LEUCOCITARIA

HISTOGRAMA

DISTRIBUCION

TECNICO(CS)

DATE

LABORATORIO CONTROL



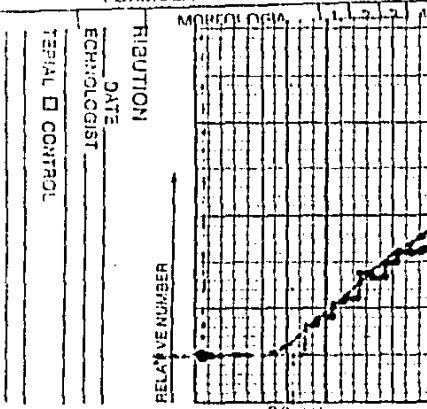
MEXICO  
ESTADO DE MEXICO  
CABO SAN JUAN

## HEMATOLOGIA

Problema

12	1/2	BB	PAC NO.	022
SA	COD OP	VARIACIONES NORMALES		
9 6	LLEO	M 78 ± 3	Rets	
7 34	LMH	M 54 ± 7 F 48 ± 6	VSG	
20 3	HLH	M 15.0 ± 2 F 14.0 ± 2	OBS	
65 1	Hb	M 47 ± 5 F 42 ± 5		
88 7	VCV	M 87 ± 7 F 50 ± 9		
27 7	HEM	M 29 ± 2		
31 2	CHCM	M 35 ± 2		
13 1	ADE	M 10 ± 15		
92 .	PLAO	M 130 - 400		
.101	TCI	0.164 ± 0.079		
10 9	VPM	6.248 ± 9.7%		
15 3.	ANH	13.94 ± 16.12		

## FORMULA LEUCOCITARIA

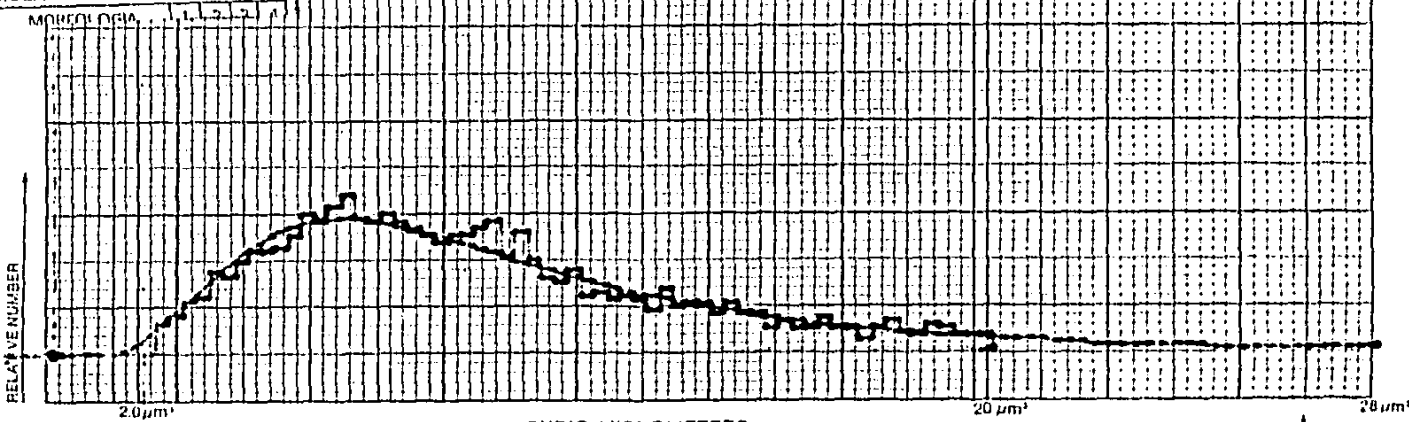


Groscile Liquido Peritoneo 2025/10

12-XII-88

1-4

Primeros (4)



Juanita Mendoza

P-5



## HEMATOLOGIA

0-5	0-1	69	PAC No.
SA	COD OP	VALORES NORMALES	0-0-4
5 6	LEUC + 100	M 76 ± 3	RBC
7 12	ERYT + 100	M 54 ± 07	VSG
18 8	Hb g/dl	M 16.0 ± 1.2	OBS
5 8 2	Hct	M 47 ± 5	
8 1 6	SCCM l/min	M 1.7 ± 0.9	
2 6 4	MCH g/vol	M 29 ± 2	
3 2 3	MCHC g/dm3	M 35 ± 2	
1 3 5	ADE	M 10 ± 15	
2 1 5	PLAO + 100	M 130 ± 400	
.1 9 3	TCT	0.108 ± 0.091	
9 0	VPM	6.78 ± 0.756	
1 5 3	ANH	1.91 ± 16.12	

### FORMULA LEUCOCITARIA

LINIOS	UTION	DATE	MORFOLOGIA			
			1	2	3	4
			ANISOCITOSIS			
HAL	□	COVOL				

CDI 1000 10000 100000 1000000

RELATIVE NUMBER

CUBIC MICROMETERS  
—PLATELET VOLUME—

20  $\mu$ m

DICHA

**PLATELET VOLUME**

PRINTED/ESTIMATED

**HEMATOLOGIA**

2.1	1.1	8.8
5.1	1.0	0.9
6.0	1.1	0.1
17.3	1.2	3.
53.3	1.3	3.
88.6	1.4	6.
28.8	1.5	8.
32.5	1.6	5.
13.0	1.7	0.
359	1.8	59.
270	1.9	270.
7.5	2.0	5.
14.1	2.1	1.

PAC No. 059

CDP

VALUES

COMPUTED

M

N

R

S

T

U

V

W

X

Y

Z

A

B

C

D

E

F

G

H

I

J

K

L

M

N

O

P

Q

R

S

T

U

V

W

X

Y

Z

A

B

C

D

E

F

G

H

I

J

K

L

M

N

O

P

Q

R

S

T

U

V

W

X

Y

Z

A

B

C

D

E

F

G

H

I

J

K

L

M

N

O

P

Q

R

S

T

U

V

W

X

Y

Z

A

B

C

D

E

F

G

H

I

J

K

L

M

N

O

P

Q

R

S

T

U

V

W

X

Y

Z

A

B

C

D

E

F

G

H

I

J

K

L

M

N

O

P

Q

R

S

T

U

V

W

X

Y

Z

A

B

C

D

E

F

G

H

I

J

K

L

M

N

O

P

Q

R

S

T

U

V

W

X

Y

Z

A

B

C

D

E

F

G

H

I

J

K

L

M

N

O

P

Q

R

S

T

U

V

W

X

Y

Z

A

B

C

D

E

F

G

H

I

J

K

L

M

N

O

P

Q

R

S

T

U

V

W

X

Y

Z

A

B

C

D

E

F

G

H

I

J

K

L

M

N

O

P

Q

R

S

T

U

V

W

X

Y

Z

A

B

C

D

E

F

G

H

I

J

K

L

M

N

O

P

Q

R

S

T

U

V

W

X

Y

Z

A

B

C

D

E

F

G

H

I

J

K

L

M

N

O

P

Q

R

S

T

U

V

W

X

Y

Z

A

B

C

D

E

F

G

H

I

J

K

L

M

N

O

P

Q

R

S

T

U

V

W

X

Y

Z

A

B

C

D

E

F

G

H

I

J

K

L

M

N

O

P

Q

R

S

T

U

V

W

X

Y

Z

A

B

C

D

E

F

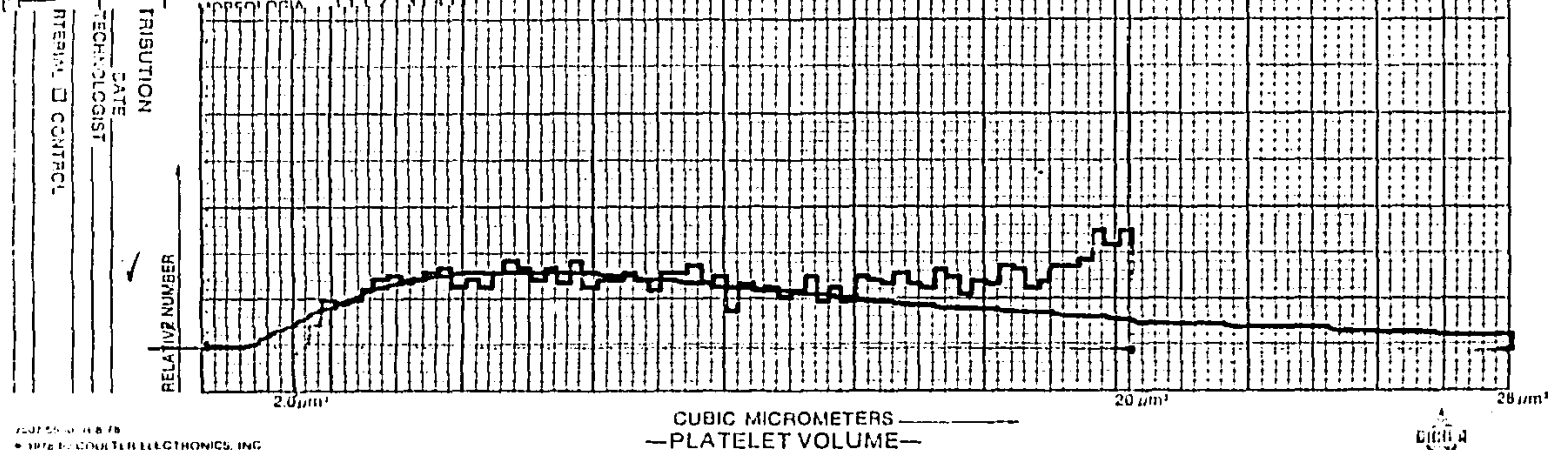


## HEMATOLOGIA

Rodriguez Cesar, 1976-08-08

21	/1	88	PAC No	070
S4		COD DP	VALORES NORMALES	
5	4	LETC $\times 10^3$	M 78 ± 3 F 54 ± 7 148 ± 6	Ruts _____
6	43	HGB $\times 10^6$	M 16.0 ± 2 F 14.0 ± 2	VSG _____
15	3	HPC $\times 10^9$	M 47 ± 2 F 42 ± 3	OBS _____
40	4	PLT %	M 87 ± 2 F 50 ± 5	
62	8	WBC $\times 10^3$	M 29 ± 2 F 19 ± 2	
23	9	HLM	M 35 ± 2 F 35 ± 2	
38	0	CHCM g/dl	M 35 ± 2 F 35 ± 2	
13	2	AGE	M 10 ± 15 F 10 ± 15	
11	3	PLAO $\times 10^3$	M 1.30 - 400 F 1.00 - 200	
18	8	TCT	0.106 ± 0.791	
16	6	VMP pmf	0.256 ± 9.79	
18	8	APP **	13.94 ± 16.12	

## FORMULA LEUCOCITARIA





## HEMATOLOGIA

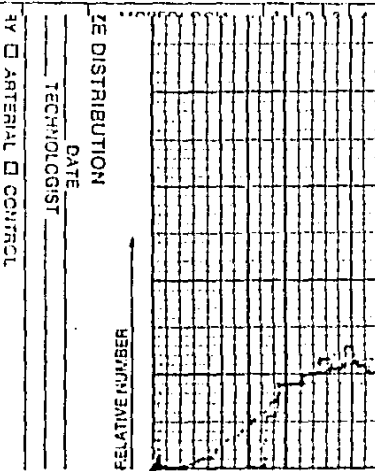
4391-3

(58)  
P-8

31 10 88 PAC No. 038

SA	COD OF	VALORES INDIVIDUALES	
3 7	LETC ·10 <sup>3</sup>	M 78 ± 3	Rets _____
9 79	ENR ·10 <sup>3</sup>	M 54 ± 07 T 48 ± 06	VSG _____
19 9	Hb g/dl	M 160 ± 2 T 140 ± 2	OBS _____
72 0	Hct %	M 47 ± 5 T 42 ± 5	
73 5	VCV ml/min	M 87 ± 7 T 100 ± 9	
20 4	HUM mm	M 29 ± 2	
27 7	CHCM g/dl	M 35 ± 2	
15 4	ADL %	M 10 ± 15	
128 .	PLAU ·10 <sup>3</sup>	M 130 400	
.148	Tet %	0.108 ± 0.291	
11 5	VPM μm <sup>3</sup>	0.258 ± 0.706	
18 0.	ADP %	11.91 ± 16.12	

## FORMULA LEUCOCITARIA

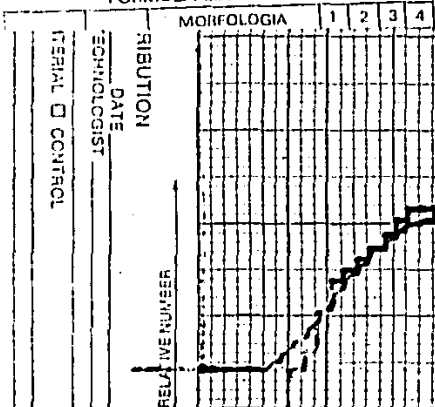




## HEMATOLOGIA

22	1/2	88	PAC No	027
SA		COD ID	VALORIS NORMALIS	
5	8	LEUC.	M 78 ± 3	Rots
6	94	ERIT.	M 54 ± 07 F 48 ± 06	VSG
22	2	HGB	M 160 ± 12 F 140 ± 12	OBS
67	5	HCT	M 47 ± 5	
97	2	WCM	M 87 ± 7 F 90 ± 9	
32	0	HLM	M 29 ± 2	
32	9	HVC	M 35 ± 2	
12	3	CHCM	M 35 ± 2	
13	2	ADL	M 10 ± 15	
.119		PLAO	M 130 ± 400	
.90		SL	0.106 ± 0.029	
14	7.	VM	6.78 ± 9.701	
		APC	M 94 ± 16.11	

## FORMULA LEUCOCITARIA



Veronica Galicia Cortes (209593) Prob. no. (27)

22-11-22

F. 19

P-10

01-111-08

Problima (29)

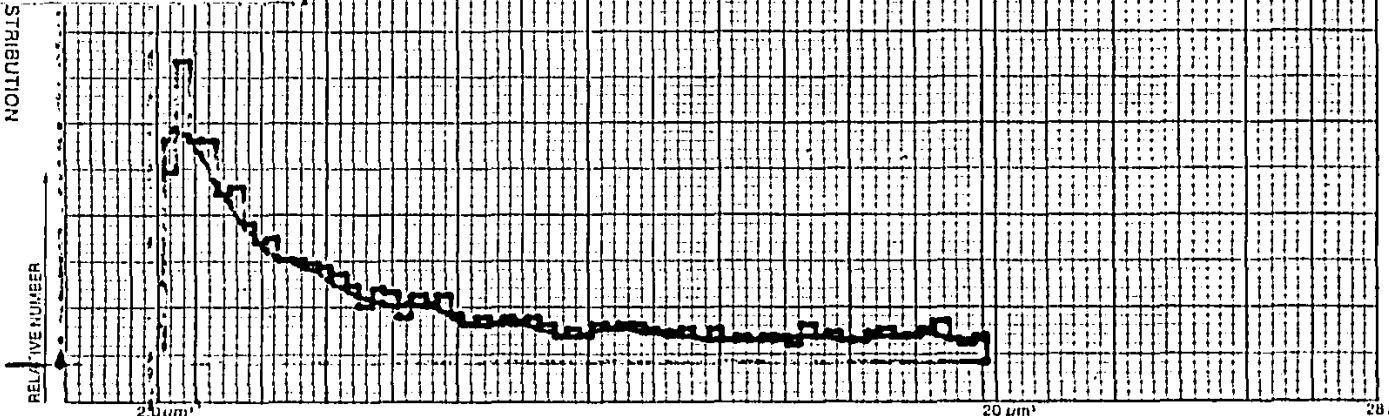


## HEMATOLOGIA

2.9	12	6.8	PAC No.	029
SA		COD DP	VALORES	
\$			NORMALES	
8 - 5		LETH	M 18 + 3	
6 3 9		LETH	M 54 + 0.7	
2 0 8		LETH	M 48 + 0.6	
6.6 3		LETH	M 16.0 + 2	
10.3 8		LETH	M 14.0 + 2	
3.2 6		LETH	M 47 + 5	
3 1 4		LETH	M 42 + 5	
12 4		LETH	M 07 + 2	
• • •		LETH	M 14 + 9	
• • •		LETH	M 29 + 2	
• • •		LETH	M 35 + 2	
• • •		ADE	M 10 + 15	
• • •		PLAQU	M 133 + 400	69,000
• • •		LETH	0.106 + 0.291	/ 2.8
• • •		LETH	0.78 + 0.796	
• • •		ADP	11.91 + 16.12	

## FORMULA LEUCOCITARIA

DISTRIBUTION  
DATE  
TECHNOLOGIST  
ARTERIAL CONTROL



142196-63

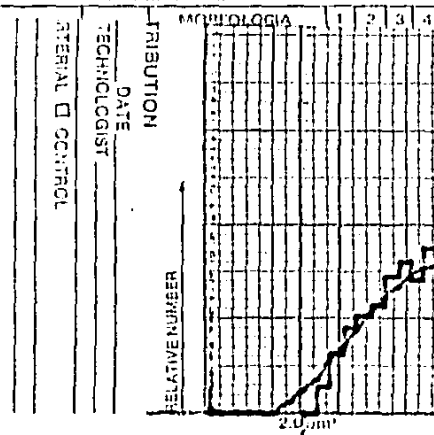
142196-63



## HEMATOLOGIA

09	01	89	PAC No.	047
SA	COD OP	VALORES NORMALES		
10 1.	LHCO +10%	M 70 : 3 F 70 : 3	Rels	
8 7.3	ERIT +10%	M 54 : 07 F 48 : 06	VSG	
18 9.	VFB g/dl	M 160 : 2 F 140 : 2	OBS	
61 8.	Hct %	M 47 : 5 F 42 : 5		
70 8.	VCM mm	M 87 : 3 F 90 : 9		
21 6.	HCM mm/s	M 29 : 2 F		
30 5.	CHCM g/dl	M 35 : 2 F		
14 8.	ADE %	M 10 : 15 F		
16 8.	PLAO *10 <sup>3</sup>	M 130 : 400 F		
16 2.	Tet %	0.108 ± 0.021		
9 5.	VFM mm <sup>3</sup>	6.274 ± 9.796		
15 2.	AUP %	13.93 ± 16.12		

## FORMULA LEUCOCITARIA



CUBIC MICROMETERS  
— PLATELET VOLUME —

210661-605

P-1a



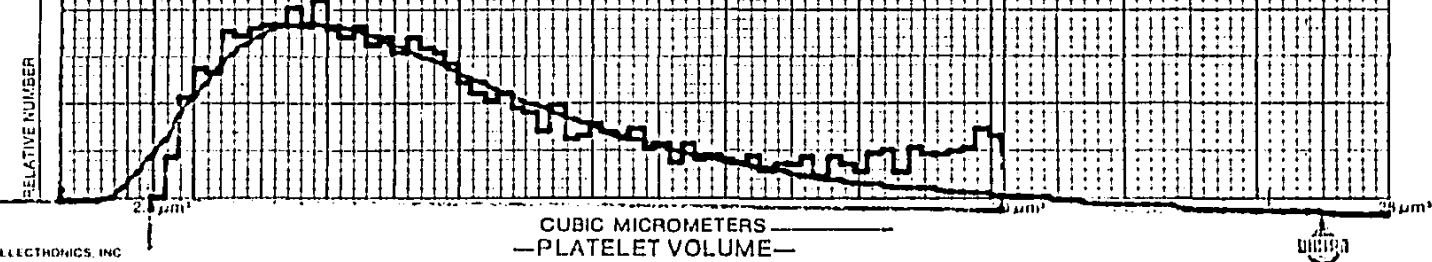
## HEMATOLOGIA

09 01 89 PAC No. 046

SA	COD OP	VALORES NORMALES
14 2	LEUC • 10 <sup>3</sup>	M 78 ± 3
5 87	ERIT • 10 <sup>3</sup>	M 54 ± 8 F 48 ± 6
12 9	Hb g/dl	M 160 ± 2 F 140 ± 2
42 0	Ht %	M 42 ± 5 F 42 ± 5
71 5	VCM µm <sup>3</sup>	M 87 ± 7 F 50 ± 9
21 9	HCM µm <sup>3</sup>	M 29 ± 2
30 6	CHCM g/dl	M 35 ± 2
15 5	ADL •	M 10 ± 15
273	PLAO • 10 <sup>3</sup>	M 130 - 400
282	TCI •	0.106 ± 0.291
10 3	VPM µm <sup>3</sup>	6.78 ± 9.79
16 4	ADM %	13.91 ± 16.12

## FORMULA LEUCOCITARIA

	MONOFOLIA	1	2	3	4
ANTICOAGULANTE	BUTON				
DATE					
CHRONOLOGIST					
ERIAL <input type="checkbox"/> CC'NTROL					





## HEMATOLOGIA

C111 SC

17	01	89	PAC NO	054
SA	COD OP	VALORES NORMALES		
16 6	LTCR	M 70 - 3	Ruts	
7 44	ERH	M 54 - 07	VSG	
15 7	Hb	M 160 - 2	OBS	
51 5	Hct	M 47 - 5		
69 2	V.M.	M 87 - 7		
21 0	HCM	M 29 - 2		
30 4	CHCM	M 35 - 2		
13 2	AOI	M 10 - 15		
44 4	PLAQ	M 130 - 400		
18 5	TCT	0.104 ± 0.291		
19 6	VPM	6.256 ± 9.706		
	ADV	13.94 ± 16.12		

## FORMULA LEUCOCITARIA

PERIODICO	INSTITUTION	TECHNOLOGY	DATE	DILUTION	MORFOLOGIA	1	2	3	4

CUBIC MICROMETERS  
—PLATELET VOLUME—



161770

## HEMATOLOGIA

Vidrio 1<sup>o</sup> Melina

19/01/89 PAC NO 013

SH	COD OP	VALORES NORMALES
5 6	LEUC + 10 <sup>3</sup>	M 70 ± 3
9 20	ERIT - 10 <sup>3</sup>	M 54 ± 6 / M 44 ± 6
20 5	HGB GLO	M 160 ± 2
69 5	HCT %	M 40 ± 2
75 4	ACM %	M 47 ± 2 / P 50 ± 9
22 3	ACM %	M 29 ± 2
29 6	GKGM %	M 35 ± 2
14 9	ADE	M 10 ± 15
138 .	PLAO + 10 <sup>3</sup>	M 101 - 400
.155 .	LST %	0.104 ± 0.020
11 2	VPA mm	0.228 ± 0.098
16 7	ADU **	0.94 ± 16.12

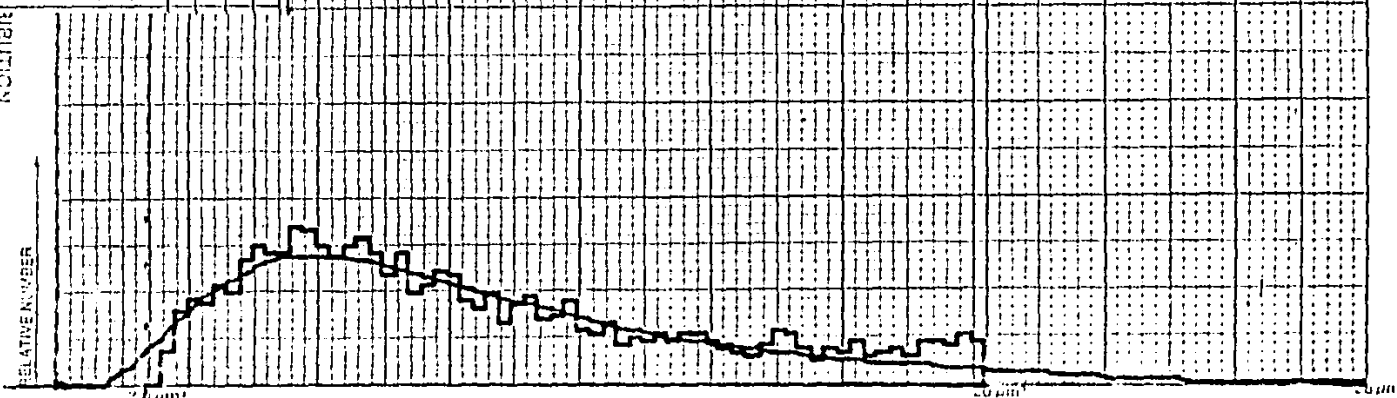
## FORMULA LEUCOCITARIA

## MONOFOLIA

	1	2	3	4
MONOFOLIA				
TRIPLA				
TRIPLA				
TRIPLA				

## POLYFOLIA

## TRIPLA





## HEMATOLOGIA

Alvaro Parrae / Herminio So / Cecilia (1)

C-1

3 1/2 88 PAC No 035

SA	EDAD	VALORES NORMALES
10 2	EDAD	M 16-13
3 12	EDAD	M 54-107
	EDAD	F 40-66
10 2	HGB	M 160-12
	HGB	F 140-12
3 1 0	HCT	M 42-2
	HCT	F 42-5
9 9 4	VCM	M 87-7
	VCM	F 80-9
3 2 8	HCM	M 29-2
	HCM	F 21
3 3 0	CINCM	M 32-2
	CINCM	F 20
1 1 2	ADL	M 10-15
	ADL	F 10
3 8 1	PLTAD	M 131-400
	PLTAD	F 130
3 2 4	PLT	0.108-0.231
	PLT	0.128-0.256
8 4	PLT.M	0.128-0.256
	PLT.M	0.12-0.256
1 5 4	PLT.D	13-44-16-42
	PLT.D	13-44-16-42

RBLs

VSG

OBS

## FORMULA LEUCOCITARIA

ESTEROL

PROTEINAS

CLOACAL

URICO

LIPIDOS

URICO

LIPIDOS

SISTEMAS

CLOACAL

URICO

LIPIDOS

URICO

LIPIDOS

URICO

SISTEMAS

CLOACAL

URICO

LIPIDOS

URICO

LIPIDOS

URICO

SISTEMAS

CLOACAL

URICO

LIPIDOS

URICO

LIPIDOS

URICO

SISTEMAS

CLOACAL

URICO

LIPIDOS

URICO

LIPIDOS

SISTEMAS

CLOACAL

URICO

LIPIDOS

URICO

LIPIDOS

SISTEMAS

CLOACAL

URICO

LIPIDOS

URICO

SISTEMAS

CLOACAL

URICO

LIPIDOS

URICO

LIPIDOS

SISTEMAS

CLOACAL

URICO

LIPIDOS

URICO

MAX. REC.

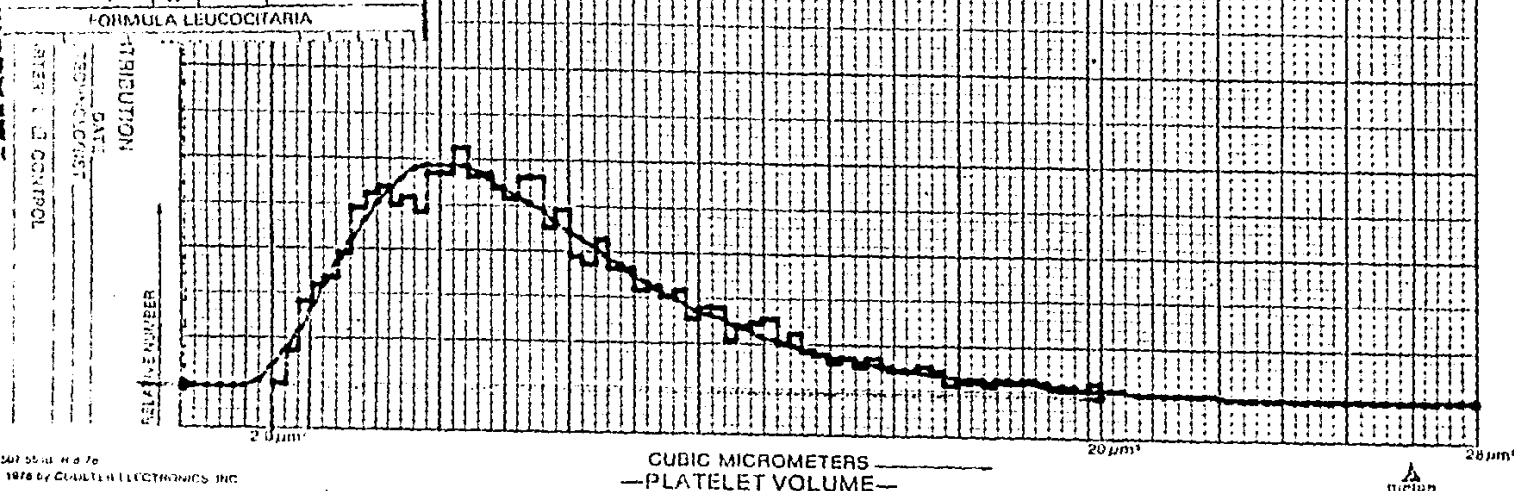
HEMATOLOGIA

3 12 88			PAC file	027
10	4		18	14.4 + 1.4
4	32		19	14.4 + 1.4
14	1		20	14.4 + 1.4
43	3		21	14.4 + 1.4
00	1		22	14.4 + 1.4
32	7		23	14.4 + 1.4
32	7		24	14.4 + 1.4
11	4		25	14.4 + 1.4
262			26	14.4 + 1.4
248			27	14.4 + 1.4
9	4		28	14.4 + 1.4
14	7		29	14.4 + 1.4

Carla Escorilla 166820(905) Ovif. sp (2)

12-11-22

C-2



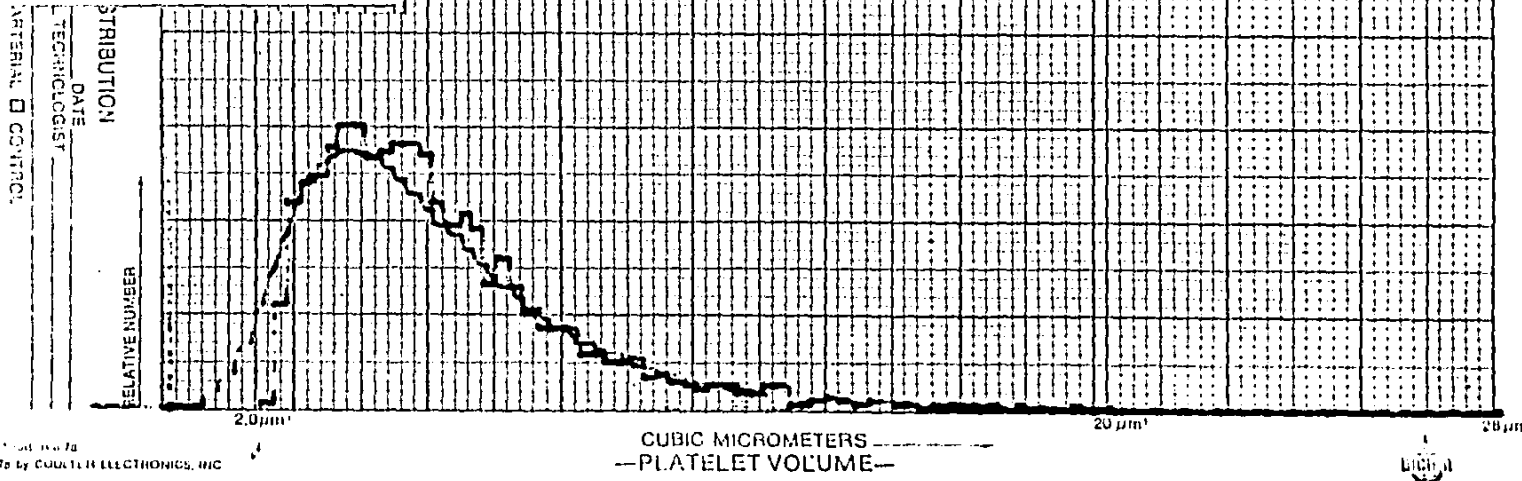


MEXICO  
INSTITUTO NACIONAL  
DE HEMATOLOGIA  
CANCEROLÓGICO

## HEMATOLOGIA

6	12	68	PAC No.	007
SA	COD OP	VALORES NORMALES		
3 - 2	LTHC • 10 <sup>3</sup>	M 78 ± 3 F 78 ± 3	RHIS	
4 - 3	LHII • 10 <sup>3</sup>	M 54 ± 07 F 48 ± 06	VSG	
14 - 3	Hb g/dl	M 160 ± 12 F 140 ± 12	OHS	
4 - 2	Ht	M 47 ± 5 F 42 ± 5		
8 - 4	VCM mm	M 37 ± 1 F 30 ± 0		
2 - 2	HCM mm	M 29 ± 2 F 29 ± 2		
3 - 4	CHCM mm	M 35 ± 2 F 30 ± 2		
12 - 4	ADE	M 10 ± 15 F 10 ± 15		
4 - 2	PLAO • 10 <sup>3</sup>	M 130 - 400 F 130 - 400		
2 - 8	Tet	0.108 ± 0.291		
0 - 6	VPM mm	6.258 ± 9.796		
14 - 9.	ADP	13.94 ± 16.12		

### FORMULA LEUCOCITARIA



C-4

Patient 1(4Y m-7-4) Plat: m 1000000 ml. 1000000

CO-OPERATOR'S  
COUNTER COUNTER MODEL S-PLUS PLATELET SIZE DISTRIBUTION

NAME: JOE  
TECHNOLOGIST: J. D.  
TEST: PLATELET COUNT  
SPECIMEN: WHOLE BLOOD  
REMARKS: REWORKS

RELATIVE NUMBER

TEST DATE: 10/1/88

2.0  $\mu\text{m}^3$ 

10

20

30

40

50

60

70

80

90

100

110

120

130

140

150

160

170

180

190

200

210

220

230

240

250

260

270

280

290

300

310

320

330

340

350

360

370

380

390

400

410

420

430

440

450

460

470

480

490

500

510

520

530

540

550

560

570

580

590

600

610

620

630

640

650

660

670

680

690

700

710

720

730

740

750

760

770

780

790

800

810

820

830

840

850

860

870

880

890

900

910

920

930

940

950

960

970

980

990

1000

1010

1020

1030

1040

1050

1060

1070

1080

1090

1100

1110

1120

1130

1140

1150

1160

1170

1180

1190

1200

1210

1220

1230

1240

1250

1260

1270

1280

1290

1300

1310

1320

1330

1340

1350

1360

1370

1380

1390

1400

1410

1420

1430

1440

1450

1460

1470

1480

1490

1500

1510

1520

1530

1540

1550

1560

1570

1580

1590

1600

1610

1620

1630

1640

1650

1660

1670

1680

1690

1700

1710

1720

1730

1740

1750

1760

1770

1780

1790

1800

1810

1820

1830

1840

1850

1860

1870

1880

1890

1900

1910

1920

1930

1940

1950

1960

1970

1980

1990

2000

2010

2020

2030

2040

2050

2060

2070

2080

2090

2100

2110

2120

2130

2140

2150

2160

2170

2180

2190

2200

2210

2220

2230

2240

2250

2260

2270

2280

2290

2300

2310

2320

2330

2340

2350

2360

2370

2380

2390

2400

2410

2420

2430

2440

2450

2460

2470

2480

2490

2500

2510

2520

2530

2540

2550

2560

2570

2580

2590

2600

2610

2620

2630

2640

2650

2660

2670

2680

2690

2700

2710

2720

2730

2740

2750

2760

2770

2780

2790

2800

2810

2820

2830

2840

2850

2860

2870

2880

2890

2900

2910

2920

2930

2940

2950

2960

2970

2980

2990

3000

3010

3020

3030

3040

3050

3060

3070

3080

3090

3100

3110

3120

3130

3140

3150

3160

3170

3180

3190

3200

3210

3220

3230

3240

3250

3260

3270

3280

3290

3300

3310

3320

3330

3340

3350

3360

3370

3380

3390

3400

3410

3420

3430

3440

3450

3460

3470

3



## HEMATOLOGIA

Contro 1

2 1/2 88 PAC NO. 021

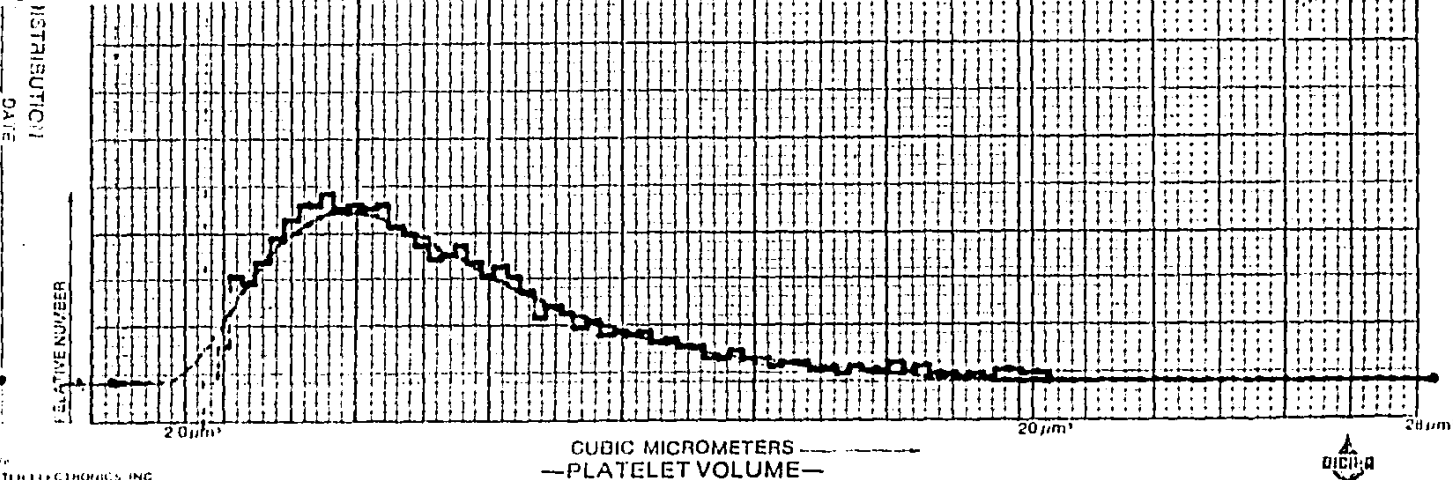
SA	COD. DP	VALORES NORMALES	
7 3	LEU. 10 <sup>3</sup>	M 70 ± 3 F 70 ± 3	Rots
3 16	ERIT. 10 <sup>3</sup>	M 54 ± 07 F 48 ± 06	VSG
8 2	HGB G/H	M 160 ± 2 F 140 ± 2	OBS
25 7	HCT	M 47 ± 5 F 42 ± 5	
8 1 2	HLM	M 50 ± 7 F 50 ± 9	
26 1	HCM	M 29 ± 2 F 29 ± 2	
32 2	CHCM V/H	M 39 ± 2 F 39 ± 2	
11 5	AHU	M 10 ± 15 F 10 ± 15	
3 17	PLAU 10 <sup>3</sup>	M 181 400 F 181 400	
267	TCI	0.708 ± 0.0231	
8 4	SPM 10 <sup>3</sup>	1.58 ± 0.76	
14 9	ADM	1.54 ± 16.1	

Tomas Mafra - Dicres 203030

12-XII-88 C-5

Control (5)

## FORMULA LEUCOCITARIA



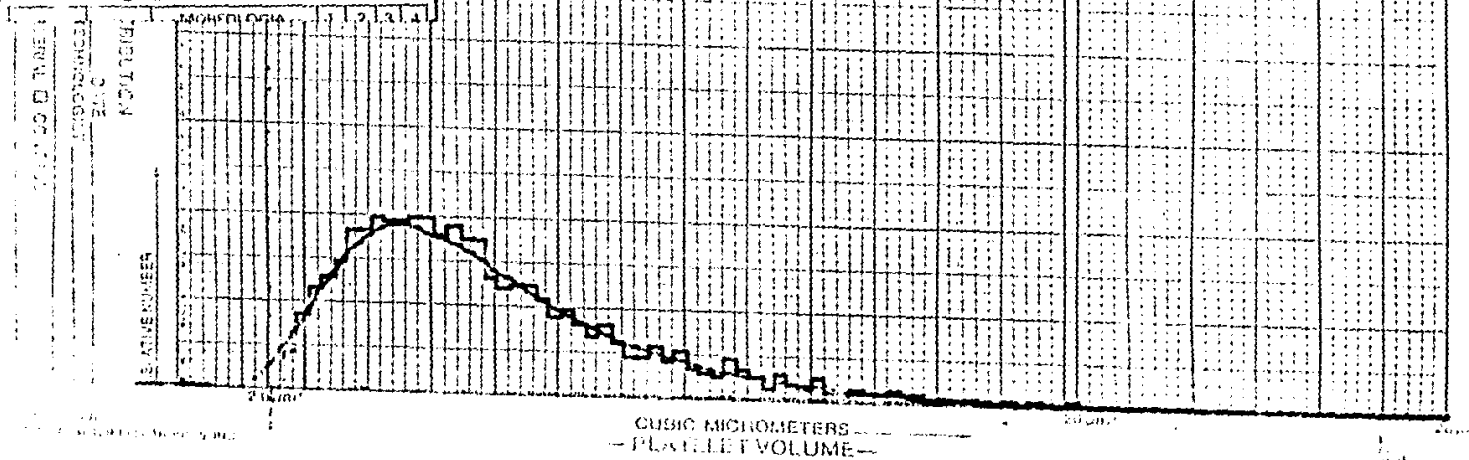


MEXICO  
INSTITUTO NACIONAL  
DE ESTADISTICA  
Y GEOGRAFIA

## HEMATOLOGIA

19 01 / 89	PAC NO	041
SA	CUD OF	VALORES NORMALES
7 0	LLOC - 10	M 18 - 2 F 18 - 2
4 74	ERIT - 10	M 54 ± 0.7 F 48 ± 0.6
13 7	HGB - 0.01	M 160 - 2 F 120 - 2
42 9	HCT %	M 42 - 5 F 45 - 5
90 4	VOL - ml	M 87 - 2 F 50 - 8
29 0	HCM - 100	M 29 - 2 F 29 - 2
32 0	ERIM - 100	M 29 - 2 F 29 - 2
11 4	ADM %	M 10 - 15 F 10 - 15
33 1	HAG - 100	M 120 - 400 F 120 - 400
26 3	...	0.06 ± 0.29
7 9	VPM - 100	0.28 ± 0.79
-1 4 - 4	ADM %	13.91 ± 16.12

### FORMULA LEUCOCITARIA



CUBIC MICRORHETERS  
— PLATELET VOLUME —

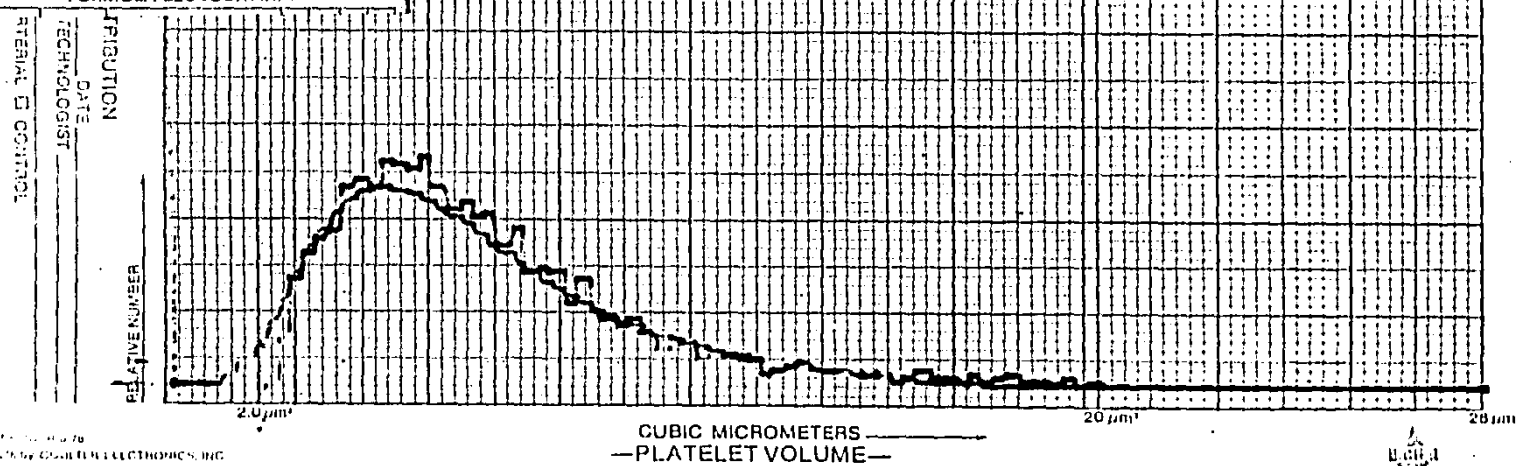
MEXICO  
ESTADOUNIDENSE  
CARTOGRAFICA  
DIAFRAGMATE

HEMATOLOGIA

26 1/2 88 PAG No 008

SA	COD. OF.	VALORES NORMALES
9 0	LEUC. 10 <sup>6</sup> / mm <sup>3</sup>	M 76 - 1
4 64	ERYT. 10 <sup>6</sup> / mm <sup>3</sup>	M 51 - 62
14 7	Hb g/dl	F 135 - 146
43 4	RBC	F 4.00 - 5.00
93 5	VGM mm <sup>3</sup>	M 32 - 35
31 7	HCM g/dl	M 129 - 132
33 9	CHr V ml/l	M 1.45 - 2
12 6	ATL	M 10 - 15
382	PLAQUES 10 <sup>3</sup> / mm <sup>3</sup>	M 130 - 400
.300	TG	0.106 ± 0.231
7 8	VPM mm <sup>3</sup>	6.256 ± 0.748
14 8.	ANP %	13.91 ± 10.12

FORMULA LEUCOCITARIA

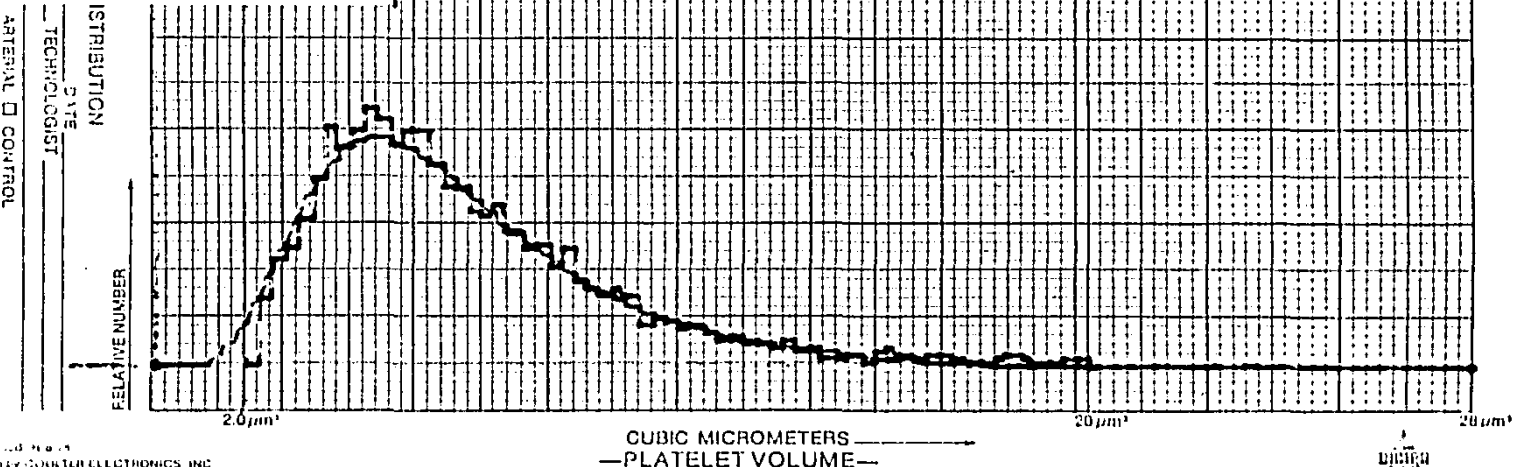


HEMATOLOGIA

26 12 / 88 PAC No 010

SA	COD OP	VALORES NORMALES
10 .1	LEUC	M 78 - 3
3 .15	ERY	M 54 - 97 F 48 - 100
10 4	RET	M 10.0 - 7 F 14.0 - 12
30 0	PLT	M 47 - 5
95 4	VGM	M 5 - 7 F 5 - 5
33 0	HGM	M 79 - 7
34 6	GFM	M 35 - 2
10 6	AN	M 10 - 15
384	PLA0 $\times 10^3$	M 130 - 400
.302	Tet	0.106 ± 0.791
7 8	VPM $\mu m$	6.258 ± 9.796
14 6.	ADP	13.91 ± 16.47

FORMULA LEUCOCITARIA



22-211-84

C9

Román Pulido A/Foro (2/10/67) (Og. 1.1.1.1.1.1)

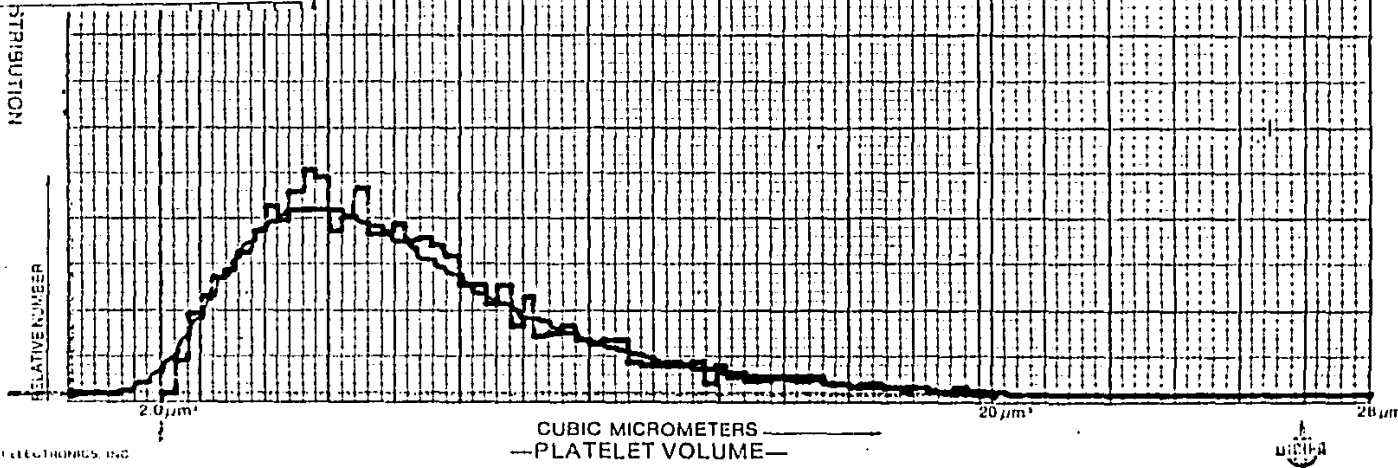


## HEMATOLOGIA

2.2	1/2	8.8	PAC No	0.1.8
SA	LUD OP		VALORES NORMALES	
1.3	8		M 78 ± 3	
5	0.5		M 34 ± 0.7	
15	8		F 48 ± 0.6	
47	0		M 16.0 ± 2	
93	0		F 14.0 ± 2	
31	4		M 44.7 ± 5	
33	7		F 42.5 ± 3	
12	1		M 8.67 ± 2	
417	.		F 9.50 ± 9	
.367			M 29 ± 2	
8	7		F 35 ± 2	
14	6.		M 10 ± 15	
			F 13.95 ± 16.17	
			M 130 - 400	
			F 0.086 ± 0.021	
			M 2.8 ± 0.73	
			F 1.95 ± 0.67	

## FORMULA LEUCOCITARIA

DISTRIBUTION  
DATE  
TECHNICIAN  
ARTERIAL □ CORTICAL



(9) 29-XI-88-1-16

Valentino Osorio de Perez 206824 Control (10)



HEMATOLOGIA

29/12/88 PAGE NO. 028

SA	COD OP	VALORES NORMALES
6 2	LETC	M 18-3
4 3 1	HBL	M 54-07
	HL	M 48-04
1 3 1	HBC	M 180-2
	CHC	M 140-2
3 9 8	WBC	M 47-13
	WBC	M 37-12
9 2 3	PLT	M 30-9
	PLT	M 24-2
3 0 4	HCM	M 24-12
	HCM	M 21-11
3 3 0	CHCM	M 35-12
	CHCM	M 33-12
1 0 2	ASG	M 10-15
	ASG	M 10-15
3 0 0	PLT%	M 130-400
	PLT%	M 100-300
.2 8 0	PLT	0.100 ± 0.070
	PLT	0.080 ± 0.050
9 3	PLT%	13.91 ± 16.12
1 5 4	PLT%	13.91 ± 16.12

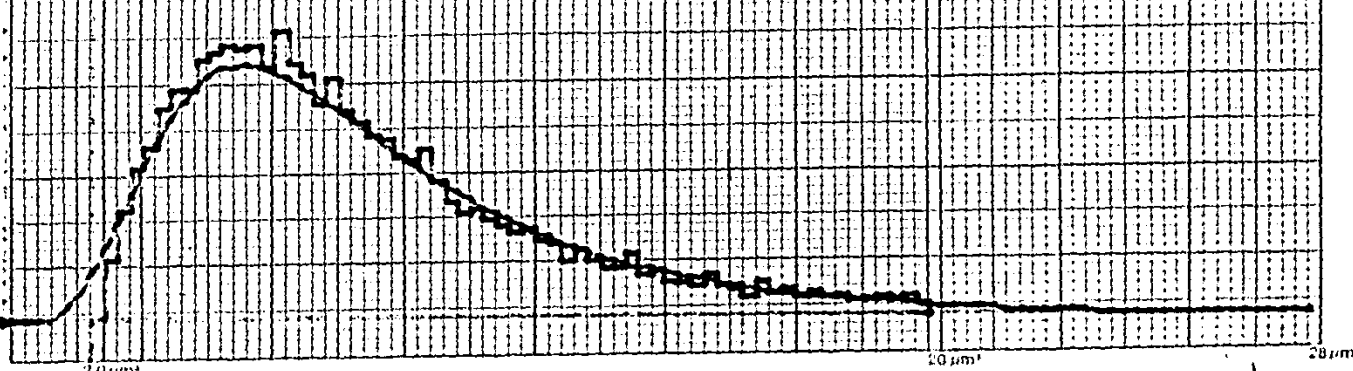
FORMULA LEUCOCITARIA

MODULACION

RIBUTION  
DATE  
SCHNOLOGIST  
INTERAL  CONTROL

REGISTRATION

1 2 3 4



## HEMATOLOGY

09 01 89

PAT# 024

	VALVE NUMBER	VALVE NUMBER
7	8	10
A	95	100
10	0	100
10	1	100
9	0	100
32	1	100
34	0	100
10	0	100
239	0	100
020	0	100
0	1	100
14	0	100

Date  
Visit  
Office

INTERVAL COUNTS

MONOCYTES

LYMPHOCYTES

NEUTROPHILS

EOSINOPHILS

BASOPHILS

PLATELETS

THROMBOCYTOMES

NEUTROPHILS

LYMPHOCYTES

MONOCYTES

EOSINOPHILS

BASOPHILS

PLATELETS

THROMBOCYTOMES

NEUTROPHILS

LYMPHOCYTES

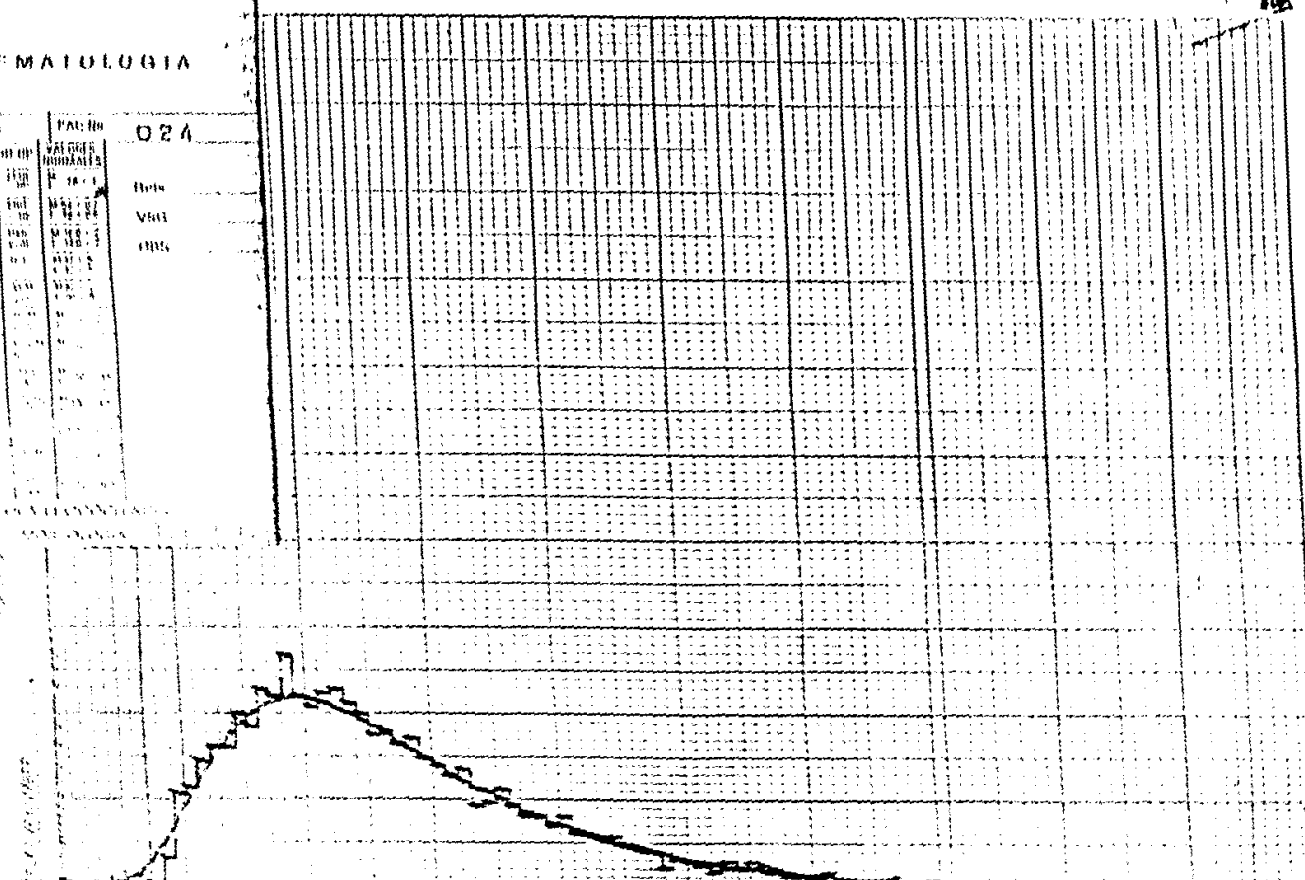
MONOCYTES

EOSINOPHILS

BASOPHILS

PLATELETS

THROMBOCYTOMES

CUBIC MICROMETERS  
PLATELET VOLUME

MEXICO  
INSTITUTO NACIONAL  
DE ESTADISTICA

HEMATOLOGIA

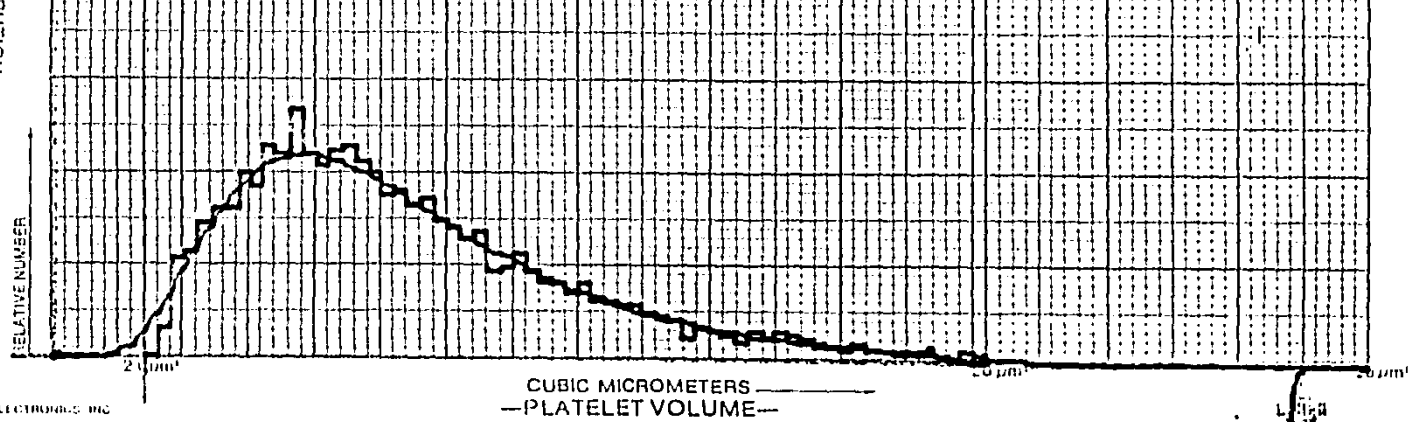
09 01 69      PAC No 024

SA	COD OP	VALORES NORMALIS
7 2	LIG. 10 <sup>3</sup>	M 78 ± 10
4 9 5	LIG. 10 <sup>3</sup>	M 54 ± 07
1 6 0	LIG. 10 <sup>3</sup>	F 48 ± 06
4 6 1	LIG. 10 <sup>3</sup>	M 100 ± 2
9 3 0	LIG. 10 <sup>3</sup>	F 100 ± 2
3 2 4	LIG. 10 <sup>3</sup>	M 29 ± 2
3 4 8	LIG. 10 <sup>3</sup>	M 10 ± 2
1 0 9	LIG. 10 <sup>3</sup>	M 10 - 15
2 3 9	LIG. 10 <sup>3</sup>	M 100 ± 100
.2 2 0	LIG. 10 <sup>3</sup>	0.03 ± 0.20
9 1	LIG. 10 <sup>3</sup>	0.03 ± 0.20
1 4 9	LIG. 10 <sup>3</sup>	0.03 ± 0.10

Rets \_\_\_\_\_  
VSG \_\_\_\_\_  
OBS \_\_\_\_\_

FORMULA LEUCOCITARIA

MORFOLOGIA	1	2	3	4
BUTTON				
DATE				
CHNOLOGIST				
CHNOLOGIST				





MEXICO

INSTITUTO NACIONAL  
DE CIENCIAS MEDICAS

## HEMATOLOGIA

Centro 12

C-12

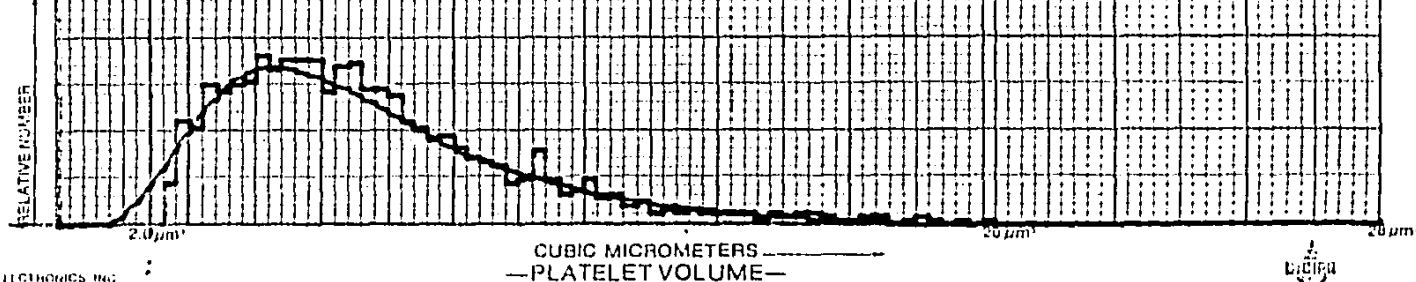
04 01 39

PAC No 026

SA	COD OP	VALORES NORMALES	
7 9	LEUS $\times 10^3$	M 76 ± 3	Rets _____
3 8 0	ENT. $\times 10^3$	M 54 ± 6 F 48 ± 6	VSG _____
1 1 6	Hb g/dl	M 16.0 ± 2 F 14.0 ± 2	OBS _____
3 4 3	Hct %	M 47 ± 5 F 42 ± 5	
9 0 4	VCM $\mu\text{m}^3$	M 87 ± 7 F 90 ± 9	
3 0 5	HLM $\mu\text{m}^3$	M 29 ± 2	
3 3 7	CHCM g/dl	M 35 ± 2	
1 0 1	ADE %	M 10 ± 15	
2 8 8	PLAO $\times 10^3$	M 130 - 400	
2 2 7	RT	0.08 ± 0.29	
7 8	VPM $\mu\text{m}^3$	0.26 ± 0.706	
1 4 8	ADP **	13.94 ± 16.12	

## FORMULA LEUCOCITARIA

LINEOS	LUTION	DATE	Hematologist	MORFOLOGIA		1	2	3	4
				Anisocitosis					





Digitized by

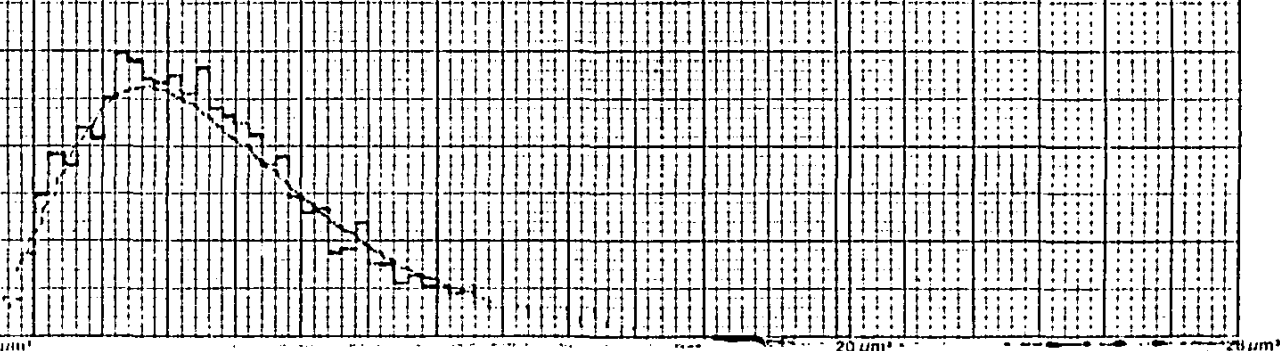
13

۲۱۴

## HEMATOLOGIA

		PAC No	
57	01	89	039
COD	DP	VALUERS NOMINANTS	Rate
1433	101	M 78 ± 3	
141	101	M 54 ± 87	VSG
141	101	M 108 ± 2	OHS
8	8	M 140 ± 5	
4	6.2	M 47 ± 5	
14	2	M 42 ± 5	
42	8	M 87 ± 7	
92	4	M 50 ± 9	
30	7	HCM	
33	2	M 24 ± 2	
11	2	M 35 ± 2	
2.59		ABE	
218		M 10 ± 15	
8	4	PIAB	
		M 130 ± 400	
		TCI	
		0.108 ± 0.291	
		VPM	
		6.250 ± 9.76	
		ADP	
		13.94 ± 16.17	

## 14 FORMULA LEUCOCITARIA



**CUBIC MICROMETERS —  
—PLATELET VOLUME—**

90-2597

90-2597

10-1-59

*Control*

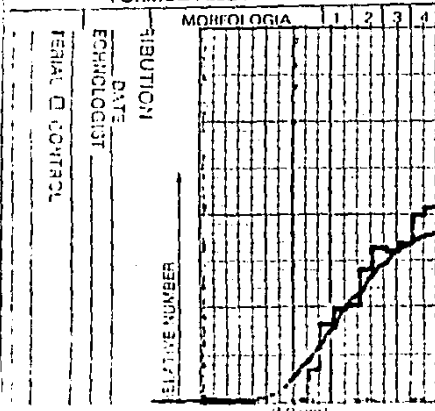


## HEMATOLOGIA

19/01/89 PAC No. 012

SA	CUD OP	VALUES NORMALES	
5 .7	LEMC + 10 <sup>3</sup>	M 78 ± 3	Rets _____
4 .81	EMC + 10 <sup>3</sup>	M 54 ± 7 F 48 ± 6	VSG _____
15 .7	Hb g/dl	M 16.0 ± 2 F 14.0 ± 2	OHS _____
46 .2	Hct %	M 47 ± 5 F 42 ± 5	
96 .0	VCMI ml/min	M 87 ± 7 F 50 ± 5	
32 .7	HCM mg/dl	M 29 ± 2	
34 .1	CHCM g/dl	M 35 ± 2	
11 .9	ADL %	M 10 ± 15	
201 .	PLAO + 10 <sup>3</sup>	M 130 - 400	
.189	IT	0.108 ± 0.291	
9 .4	SFM µm <sup>3</sup>	6.25 ± 0.978	
15 .0	ADP %	(13.9 ± 16.1)	

## FORMULA LEUCOCITARIA



CUBIC MICROMETERS  
—PLATELET VOLUME—